

30 MAY 1967

Zentralanstalt für Meteorologie und Geodynamik in Wien

SEISMISCHE AUFZEICHNUNGEN in WIEN

Wien- Hohe Warte $\varphi = 48^{\circ}14.9'N$ Höhe über dem Meer = 198 m
 $\lambda = 16^{\circ}21.7'E$ Untergrund: LÖB, darunter Lehm

Instrumente: Horizontalseismograph WIECHERT, 1000 kg (N,E)
 Vertikalseismograph WIECHERT, 1300 kg (Z)
 Nahbebenpendel nach CONRAD, 24 kg (Go)

Wien- Kobenzl $\varphi = 48^{\circ}15.9'N$ Höhe über dem Meer = 400 m
 $\lambda = 16^{\circ}19.1'E$ Untergrund: Sandstein

Instrumente: 3 Nahbebenpendel "STUTTGARTER SATZ" (N',E',Z')

- J a n u a r 1 9 6 7 -

Datum	Phase	G.M.T.	D (km)	B e m e r k u n g e n
-------	-------	--------	--------	-----------------------

Pendelkonstanten am 20. Dezember 1966

	Komp.	V	To	$\epsilon:1$	r/To^2
WIECHERT-Horizontal 1000 kg	NS	155	8.7 ^s	3.9	0.003
	EW	155	8.5	4.6	0.003
WIECHERT-Vertikal 1300 kg	Z	200	2.25	3.6	0.008

Anmerkung: Für den STUTTGARTER Satz (N'E'Z') können derzeit noch keine endgültigen Konstanten angegeben werden.

1.1.	eiPKP ePP	00 40 26.3 C 43 07		nur in N'Z'; USCGS: Santa-Cruz-Inseln
1.1.	eP ePcP	03 11 00 11 19		nur in N'Z' USCGS: Andamanen
1.1.	eiPKP1 iPKP2 ipPKP1 ipPKP2 i!	07 25 26.0 D 25 29 25 36 25 40 25 51		USCGS:Tonga-Inseln
1.1.	Spuren eiPKP2	09 04.3 04 26		nur in N'Z' USCGS: Region der Fidschi-Inseln
1.1.	Spuren ei	22 18.5 18 38		nur in N'Z' USCGS: Santa-Cruz-Inseln
2.1.	eP iz' esP iPPP	08 23 25 23 31 23 34 23 46	1840	N E Z: nicht registriert BCIS: 32.4°N, 22.8°E Cyrenaika, Libyen H = 08 19 32

Datum	Phase	G.M.T.	D (km)	Bemerkungen
2.1.	iP	09 57 53.8 C		nur in N'Z' USCGS: Kongo
2.Jan. 12 ^h bis 5.Jan. 12 ^h : Ausfall der Z'-Komponente des STUTTGARTER Satzes				
2.1.	eP	13 56 22		schwach, nur in N'E'
	ei	56 28		BCIS: Südwest-Iran
	eipP	56 32		
2.1.	eiPKP	20 19 22.0		nur in N'
	iPKS	23 04		USCGS: Santa-Cruz-Inseln
4.1.	(e)P	03 54 01		N': P in Minutenlücke
	eiPcP	54 06		nur in N'E' USCGS: Philippinen
4.1.	ePn	06 01 30	1150	N E: zu Beginn nur Spuren
	ei	02 16		BCIS: 38.4°N, 22.2°E, Griechenland,
	iPgPg	02 20		beim Golf von Korinth
	ei	03 23		H = 05 58 56
	eiSn	03 28		
	eiSgSg	04 46		
	M	06.6		
	M	07.7		
5.1.	eP	00 24 06	6050	USCGS: 48.1°N, 102.8°E, Mongolei
	ipP	24 14		H = 00 14 40.4
	isP	24 17		
	iPcP	25 07		
	ipPcP	25 16		
	isPcP	25 19		
	iPP	26 09		
	ipPP	26 17		
	eisPP	26 20		
	iPS	31 52		
	LR	40 38		
	M	45		N: 18 ^s , > 2600μ; E: 18 ^s , 2100μ
5.1.	eiP	00 51 41.7	6000	durch vorheriges Beben gestört
	i	51 48		nur in N' E'
	iPcP	52 44		USCGS: 48.4°N, 103.1°E, Mongolei
	iPP	53 43		H = 00 42 13.3
5.1.	eP	10 15 43		schwach, Auswertung von N'
	ePP	17 23		USCGS: Kirgisistan, USSR.
5.1.	e	16 38 04	800	vorher Spuren in Z' N E Z:-
	eSn	38 11		BCIS: 46.2°N, 6.4°E
	eiSb	38 46		Ober-Savoyen, Frankreich
	eiSgSgSg	39 14		H = 16 35 01
5.1.	iPg	20 08 05.9 C.	255	N E Z: nicht registriert
	iSn	08 22		Epizentrum: 46.9°N, 13.6°E, Kärnten
	eSb	08 33		östlich von Gmünd I ₀ = 5° MS
	iSg	08 36		F = 1800 km ² BCIS: H = 20 07 20

Datum	Phase	G.M.T.	D (km)	Bemerkungen
5.1.	iPg eiSb iSg	20 10 19.8 C 10 47 10 50	255	NEZ: - zweiter Bebenstoß Epizentrum, I_0 und F wie vorher BCIS: H = 20 09 36
6.1.	eiP	00 07 49.2 C		NE: - USCGS: Mongolei
6.1.	eiP eiPcP eisP	00 16 04.7 C 16 15 16 19		NE: - USCGS: Hokkaido, Japan
6.1.	i iPb iPg eSn eiSb iSg	04 45 07.9 45 11 45 18 45 47 46 04 46 14	460	NEZ: nicht registriert BCIS: 45.9°N, 11.5°E Venetianer Alpen, Norditalien H = 04 43 58
7.1.	e(Pg) eiSb iSg	11 00 20.5 00 50 00 56		N'E'Z': schwach NEZ: - PRUHONICE: D = 166 km
7.1.	e(Sn) i(Sb) ei(Sg)	12 15 30 15 36 15 39	(220)	NEE'Z: nicht registriert PRUHONICE: D = 222 km
7.1.	ez'PKP	17 00 19.5		USCGS: Santa-Cruz-Inseln
8.1.	eP eipP	05 14 14 14 25		schwach, nur in Z' USCGS: Kamtschatka, USSR,
8.1.	eiP	06 54 56.7 C		nur in N'Z' USCGS: Kamtschatka
9.1.	eiP	02 02 15.0 C.		NEZ: - BCIS: bei Lar, Süd-Iran
10.1.	Spuren	13 53.8		nur in Z' USCGS: Tonga-Inseln
11.1.	iP i ipP isP iPP i	11 26 17.0 C 26 22 26 27 26 31 26 58 27 06	2850	BCIS: 34.2°N, 45.6°E Grenze Irak-Iran H = 11 20 46
14.1..	ez'(Pn) eiz'(Sn)	19 08 28 08 57	(290)	keine makroseismischen Daten BCIS: Grenze Italien-Österreich
15.1.	ePg eSn iSb iSg	14 34 42 35 06 35 19 35 26	350	NEZ: nicht registriert BCIS: 46 1/4°N, 12 3/4°E Venetianer Alpen, Norditalien H = 14 33 42
15.1.	ez'	20 08 16		USCGS: Baikalsee, Sibiren

Datum	Phase	G.M.T.	D (km)	Bemerkungen
16.1.	ePKP ei	14 45 47 45 57		schwach, nur in N'Z' USCGS: Santa-Cruz-Inseln
17.1.	ez' eiPP ei eiz'pPP	01 23 11 25 11 27 06 27 12		NE: nicht registriert USCGS: nördliches Argentinien
17.1.	iP ipP isP iPP eipPP iScS M	12 11 45.2 C 11 56 12 00 14 52 15 03 22 18 51.5	9000	USCGS: 38.3°N, 142.1°E Ostküste von Honshu, Japan H = 11 59 31.5
18.1.	eiP	04 32 42.5 C.		schwach, nur in N'Z' USCGS: Kurilen
18.1.	eiP i iPcP iPP iPPP iPS i(ScS) eSSS LR iPKKP M M	05 44 28.5 44 37 45 16 46 36 47 56 52 34 54 18 58 28 06 01 28 05 46 07 08	6400	USCGS: 56.6°N, 120.8°E bei Tschita, Sibirien, USSR H = 05 34 32.6 Z Z' N: 8.7 ^s , 62 μ : E: 6.2 ^s , 36 μ
18.1.	ez'P	06 33 29		schwach USCGS: Kurilen
18.1.	eiP	08 30 27.3 D		USCGS: Aleuten
18.1.	ez'P ez'PcP	21 58 51 22 00 00		N'E': nur Spuren N E Z: - USCGS: Mongolei
19.1.	i(Pg) i i(Sg)	09 01 53.0 C 01 58 02 07	(115)	nur in N'E'Z' deutlich Herd: kleine Karpaten? PRUHONICE: D = 289 km
19.1.	eiPKP i eipPKP iPP ipPP	12 57 35.0 C 57 38 58 16 13 00 19 00 57	15000	N'Z': durch folgendes Beben gestört E': Spuren N E Z: - USCGS: 11.8°S, 166.4°E Santa-Cruz-Inseln h = 156 km H = 12 38 31.3
19.1.	eiPKP eipPKP isPKP eiPP eiPPP	12 59 46.7 C 59 51 59 53 13 03 00 06 12	15800	USCGS: 14.8°S, 178.8°W Region der Fidschi-Inseln H = 12 40 12.6

Datum	Phase	G.M.T.	D (km)	Bemerkungen
19.1.	eiP	14 53 40.0 C		schwach, nur in N'Z' USCGS: Aleuten
19.1.	eiz'	16 57 37.5		
20.1.	iP	02 06 51.5 C	6050	USCGS: 48.0°N, 102.9°E, Mongolei
	i!	06 53		H = 01 57 23.1
	ipP	06 59		
	iPcP	07 54		
	iPP	08 53		
	isPP	09 05		
	i(PPP)	09 58		
	iPcS	11 54		
	eiS	14 25		
	i(PS)	14 37		
	eiScS	16 34		
	eiSS	18 10		
	LR	23.0		
	M	28.2		N: 9 ^s , 81μ; E: 6.5 ^s , 56μ
20.1.	ez'P	03 38 14		schwach USCGS: Mongolei
20.1.	ez'P	06 32 43		schwach USCGS: Mongolei
21.1.	ez'PKP	03 13 40		N'E'Z' . schwach NE: -
	iz'	13 45		USCGS: Pazifik, südlich d. Oster-Insel
	eiPKP2	13 50		
21.1.	ez'PKP	14 08 06		schwach USCGS: Kermadec-Inseln
22.1.	eiz'P	12 11 16.8 C		schwach USCGS: Mongolei
22.1.	eP	12 21 32		nur in N'Z'
	ipP	21 43		USCGS: Nikobaren
	eiPcP	21 47		
24.1.	iP	03 17 36.0 C		nur in N'Z'
	eipP	17 55		USCGS: Hokkaido, Japan
24.1.	e	05 26 50		N E Z: nicht registriert
	ei	27 04		
	e	27 41		
	i	28 22		
24.1.	eP	09 39 05	6500	USCGS: 0.6°S, 21.0°W
	isP	39 19		Mittelatlantischer Rücken
	iPcP	39 55		H = 09 29 12.3
	ipPcP	40 05		
	isPcP	40 09		
	iPP	41 14		
	eisPP	41 28		
	ePPP	42 34		
	ePcS	43 52		

Datum	Phase	G.M.T.	D (km)	Bemerkungen
zu 24.1.	iSP LR M	09 47 12 56 34 10 09.8		N: 12 ^S , 23 μ ; E: 12 ^S , 33 μ
24.1.	ez'P	14 56 05		schwach USCGS: Szechwan, China
25.1.	i!P i iz'pP iz'sP i iPP iPcP i iz'PPP iz'sPP iScP	01 57 42.0 C. 57 51 58 31 59 05 59 08 59 25 59 38 59 47 59 56 02 00 48 02 43	4550	USCGS: 36.6°N, 71.6°E Grenze Afghanistan-USSR. h = 281 km H = 01 50 19.4
25.1.	e	08 03 49		mur in N'Z'
26.1.	i(Pn) i(Pb) i(Sn) i(Sg)	14 26 49.0 C 26 59 27 42 28 15	(560)	N'E'Z': schwach N E Z: - TRIBESTE: D = 425 km ca
26.1.	ez'P	16 23 35		USCGS: Grenze Mexiko-Guatemala
28.1.	eP epP	01 52 36 53 00		mur in N'Z' USCGS: Formosa
28.1.	e i ei i i	13 16 23.5 16 32 16 42 16 52 16 56		N E Z: nicht registriert fragliches Erdbeben
28.1.	iP iPcP ipP M M	14 05 02.5 C 05 11 05 14 42 44.5	8850	USCGS: 52.4°N, 169.5°W, Aleuten H = 13 52 58.3 N: 19 ^S ; Z': 19 ^S E: 18 ^S
28.1.	(e)z'P eiPcP eipPcP	14 18 01 18 09 18 23		P in Minutenlücke N'Z': schwach N E E'Z: - USCGS: Aleuten
28.1.	eP ePcP	14 35 30.5 35 39.5		schwach, mur in Z' USCGS: Aleuten
28.1.	iP eisP	16 43 27.7 C 43 42.5		mur in N'Z' USCGS: Aleuten
28.1.	Spuren	17 31.6		mur in Z' USCGS: Aleuten

Datum	Phase	G.M.T.	D (km)	Bemerkungen
28.1.	eiP ei iPcP	17 54 04.5 C 54 07 54 13		NE: - USCGS: Aleuten
29.1.	iPg i i i!Sg i!Sg i! M	00 12 38.7 D 12 41 12 48.5 12 57 12 58 13 00 13.1	155	Epizentrum: 47.9°N, 14.3°E, Molln Oberösterreich, $I_0 = 6 \frac{3}{4} \text{ MS}$. F = 98.000 km ² BCIS: H = 00 12 14 erster Sg-Einsatz WIEN-Kobenzl N: 2 ^s ,107μ; E: 2 ^s 153μ; Z: 2 ^s ,72μ
29.1.	e e(PP)	07 20 21 20 48		schwach, nur in N' Z' USCGS: Süd-Iran
29.1.	eP iPPP	08 03 49.5 05 36		mur in Z' BCIS: Süd-Iran
29.1.	ePn iSn iSb eiSg i	20 06 36 07 36 07 58 08 12 08 21	630	E': schwach NEZ: - BCIS: 44.6°N, 10.1°E, Italien Toskanischer Appenin H = 20 05 10
29.1.	iPg iSn i eiSg	20 46 07 46 30 46 38 46 50	340	Z': vorher Spuren NEZ: - BCIS: 45 1/2°N, 14 1/4°E Slowenien, Jugoslawien H = 20 45 09
30.1.	eiP isP eiPP isPP	01 25 15.7 25 30 25 39 25 54	2320	BCIS: 41.0°N, 44.2°E Armenien, USSR H = 01 20 27
30.1.	eiPg iSg i	05 07 03.8 D 07 22 07 24	155	NZ: Spuren E: - lokales Nachbeben in Molln, Oberöster- reich BCIS: H = 05 06 39
30.1.	eP iPP	12 29 33.5 29 53		E': schwach NEZ: - BCIS: östliche Türkei
30.1.	eiP	21 16 04.0 C		E': Spuren NEZ: - USCGS: Burma
31.1.	ez'P	13 50 55.		USCGS: Pazifikküste von Mittelamerika
31.1.	iP eiPcP	17 55 57.0 C 56 06		mur in N'Z' USCGS: Hokkaido, Japan
31.1.	ez'P	19 07 37		BCIS: Süd-Iran



Zentralanstalt für Meteorologie und Geodynamik in Wien

SEISMISCHE AUFZEICHNUNGEN in WIEN

Wien- Hohe Warte $\varphi = 48^{\circ}14.9'N$
 $\lambda = 16^{\circ}21.7'E$

Höhe über dem Meer = 198 m
 Untergrund: Löß, darunter Lehm

Instrumente: Horizontalseismograph WIECHERT, 1000 kg (N,E)
 Vertikalseismograph WIECHERT, 1300 kg (Z)
 Nahbebenpendel nach CONRAD, 24 kg (Co)

Wien- Kobenzl $\varphi = 48^{\circ}15.9'N$
 $\lambda = 16^{\circ}19.1'E$

Höhe über dem Meer = 400 m
 Untergrund: Sandstein

Instrumente: 3 Nahbebenpendel "STUTTGARTER SATZ" (N',E',Z')

- F e b r u a r 1 9 6 7 -

Datum	Phase	G.M.T.	D (km)	B e m e r k u n g e n
Anmerkung: Für den STUTTGARTER Satz (N'E'Z') können derzeit noch keine endgültigen Konstanten angegeben werden.				
1.2.	eiP	01 14 31		nur in N'Z' BCIS: Süd-Iran
1.2.	e(Sn) i(Sb) i(Sg)	10 59 38 59 50 59 57	(320)	N'E'Z': schwach N E Z: - PRUHONICE: D = 166 km
2.2.	Spuren	06 44.9		nur in Z' USCGS: Süd-Sandwich-I.
2.2.	iP iPcP ipP	16 36 18.0 C 36 30 37 32		schwach, nur in N'Z' USCGS: bei Hokkaido, Japan
3.2.	eiz'PP	13 04 45		USCGS: Java-See
5.2.	ez'P	19 05 42		USCGS: Atlantik bei Insel Ascension
7.2.	eiz'P	15 04 50.3 D		USCGS: Halbinsel Alaska
8.2.	iz'PKP	00 08 02.5 D		USCGS: Region der Fidschi-Inseln
8.2.	ei ei	12 06 27.5 D 06 36		N E Z: nicht registriert
9.2.	ei ei i i	12 00 29 00 36 00 55 01 39		N'E'Z': schwach N E Z: - PRUHONICE: Sprengung

Datum	Phase	G.M.T.	D (Km)	Bemerkungen	
9.2.	iz s -Pn	14 10 28.5 D	960	BCIS: 40.0°N, 20.1°E, Süd-Albanien H = 14 08 23	
	i	10 31			
	iPb	10 46			
	iPgPg	11 09			
	iPgPgPg	11 13			
	iSn	12 08			
	iSb	12 38			
	iSgSg	13 10			
	i	13 15			
	M	13.6			Z: 2.3 ^s , 5μ
	M	14.3			N: 3.4 ^s , 32μ; Z': 3.5 ^s
	M	15.2			E: 6.4 ^s , 29μ
	9.2.	iP			15 37 36.0 C
ipP		37 54			
iPP		41 11			
ipPP		41 27			
ePPP		43 10			
i!S		48 23			
iScS		48 26			
eiPS		49 38			
eiPKPPKP		16 03 36			
M		16	N: 23 ^s , 79μ; E: 18 ^s , 46μ		
10.2.		eiPg	06 48 07.3 D	68	Analyse nach N'E'Z'; N E Z: schwach Epizentrum: 47.7°N, 16.0°E, Wimpassing bei Neunkirchen, Niederösterreich I ₀ = 4° MS BCIS: H = 06 47 56
	iSg	48 16.3			
	i!	48 17.5			
	i!	48 31			
10.2.	ei	12 30 38		nur in Z'	
	ei	30 47			
	i	30 51			
11.2.	eiP	02 51 31.5 C		nur in N'Z' USCGS: bei Kamtschatka	
11.2.	i	09 18 46.5 C		nur in N'Z'	
	i	18 55			
	i	19 35			
11.2.	ei	13 00 38		N E Z: nicht registriert	
	i	00 43			
11.2.	eP	15 24 27		nur in N'Z' USCGS: Süd-Iran	
12.2.	ei	23 19 29		N E Z: nicht registriert	
	ei	19 49			
	ei	19 53			
13.2.	iP	23 20 46.5 C.	3450	BCIS: 52.9°N, 33.7°W Nordatlantischer Rücken H = 23 14 26 M = 7	
	ei	20 49			
	ipP	20 50			
	isP	20 51			
	iPP	21 51			

2

Datum	Phase	G.M.T.	D (km)	Bemerkungen
zu 13.2.	iPPP	23 22 08		
	i	23 06		
	iS	25 49		
	i	26 03		
	iPoS	27 15		
	eiSS	27 35		
	iSSS	27 58		
	eiLR	29 24		
	eiScS	31 05		
	M	32.8		N: 12 ^S , 431 μ
M	34.1		N: 11 ^S , 297 μ	
M	34.8		E: 10 ^S , 149 μ ; Z: 10 ^S , 171 μ	
14.2.	eiP	01 47 36.0 D	8200	USCGS: 13.7°N, 96.5°E
	ipP	47 44		Region der Andamanen
	iPoP	47 51		H = 01 36.04.7
	eiPP	50 27		
	isS	57 24		
	iScS	57 45		
14.2.	e	02 13 51	500	N'E'Z': schwach N E Z: -
	iPg	14 08		BCIS: 44.2°N, 19.2°E, nordöstlich von
	eiPgPg	14 11		Sarajewo, Jugoslawien
	eiSn	14 34		H = 02 12 37
	i	14 44		
	iSg	15 05		
	iSgSgSg	15 19		
14.2.	ez'PKP	05 20 54		schwach, nur in N'Z'
	i	20 57		USCGS: Region der Neuen Hebriden
14.2.	i(P)	14 44 44.5		N' E'Z': schwach N E Z: -
	ei	44 54		
	i	45 08		
14.2.	ePKP2	18 33 02		nur in N'Z' USCGS: Tonga-Inseln
15.2.	eiz'PP	01 53 08.5		USCGS: West-Iran
15.2.	eP	06 08 19	7400	N E Z: nicht registriert
	i	08 41		USCGS: 20.4°N, 94.1°E, Burma
	iPoP	08 48		H = 05 57 24.6
	isPoP	08 53		
15.2.	iP	16 23 33.2 D	10650	N E: starke Mikroseeismen
	i!	23 35		USCGS: 9.0°S, 71.3°W
	ipP	25 46		Grenze Peru-Brasilien
	eiPP	27 31		h = 597 km H = 16 11 11.8
	isPP	30 36		
	iS	34 06		
	eiSP	35 14		
	iPKPPKP	48 34		

Datum	Phase	G.M.T.	D (km)	Bemerkungen
17.2.	iPKP isPKP i iPKP2 isPKP2 ei	10 30 42.7 D 30 54 31 06 31 13 31 23 36 31	17000	USCGS: 23.7°S, 175.2°W Region der Tonga-Inseln H = 10 10 51.5
18.2.	ePKP i	02 58 15 58 19		schwach, nur in Z' USCGS: bei Neu-Irland
18.2.	ei(Sn) iSb iSg iSgSg	09 24 43 24 49 24 54 24 58	(275)	mur in Z' PRÜHONICE: Sprengung
18.2.	eiPg iSg i i i	22 47 40.7 C 47 50 47 52 47 57 48 03	69	mur in Z' auswertbar NE Z: - leichtes Nachbeben zum Beben vom 10.2. (H = 06 47 56) bei Wimpassing, Niederösterreich
19.2.	eP ei(pP) iPP	22 28 30 28 47 32 33	11300	NE Z: nicht registriert USCGS: 9.2°S, 113.1°E, südlich von Java h = 80 km H = 22 14 35.3
19.2.	ez'PP	23 46 25		USCGS: Molukken-See
20.2.	eiP eiPP	15 27 01.4 28 52		N'E'Z': Minutenlücke NE: - USCGS: Kaschmir, Pakistan
22.2.	iPKP ipPKP eiPKS i	18 46 11.5 C 46 34 49 44 50 27	15850	NE: Spuren USCGS: 19.5°S, 169.0°E Neue Hebriden h = 87 km H = 18 26 46.7
23.2.	iP ipP isP	20 51 29.0 C 51 37 51 41		NE: nicht registriert USCGS: Ryukyu-Inseln
23.2.	iPn i iPb iPg iPgPg i iSn i i iSb eiSg	22 39 59.3 C 40 03 40 10 40 19 40 22 40 33 40.46 40 54 40 58 41 06 41 18	500	N Z: schwach E: Spuren BCIS: 43.7°N, 15.9°E, Jugoslawien Dalmatien bei Split H = 22 38 50

Datum	Phase	G.M.T.	D (km)	Bemerkungen
24.2.	e(Pn)	15 22 08	(680)	N E Z: Spuren
	ei(Pg)	22 33		
	i(PgPg)	22 36		
	i	22 51		
	i	22 56		
	i	23 12		
	i(Sn)	23 20		
	i	23 49		
	i(Sg)	23 51		
	ei	23 57		
i(SgSgSg)	24 06			
26.2.	iP	04 05 33.3 C	4350	N E: nicht registriert BCIS: 50.0°N, 78.0°E, Semipalatinak, Kasakstan, USSR. H = 03 58 00
	iz'	05 37		
	i	07 03		
	iPP	07 06		
	iPcP	07 44		
	M	19.5		
26.2.	ezP	06 51 14		USCGS: Ryukyu-Inseln
27.2.	ePn	21 02 38	890	N E Z: Beginn nur Spuren BCIS: 45.0°N, 27.1°E Ost-Rumänien H = 21 00 40 N: 12 ^s , 5 ^u ; E: 12 ^s , 8 ^u
	ei	02 45		
	iPb	03 02		
	iPgPg	03 15		
	i	03 47		
	iSn	04 08		
	i	04 35		
	i	04 57		
	iSgSg	05 02		
	iSgSgSg	05 11		
M	06.2			
28.2.	eP	09 49 55		N E: nicht registriert
	iPcP	49 58		USCGS: südlich von Honshu, Japan
	isPcP	50 09		
28.2.	Spuren	14 24.7	(1170)	sehr schwach, nur in N E Z auswertbar BCIS: Griechenland
	ei	25 03		
	eiPgPg	25 23		
	ei	25 25		
	iSn	26 32		
	ei	26 35		
	i	27 11		
eSgSg	27 48			

Wien, 28. April 1967

 J. Drimmel
 A. Pühringer
 E. Trapp



1965
1966
1967

1968
1969
1970

1971
1972
1973

1974
1975
1976

1977
1978
1979

1980
1981
1982

1983
1984
1985

1986
1987
1988

1989
1990
1991

1992
1993
1994

1995
1996
1997

1998
1999
2000

2001
2002
2003

2004
2005
2006

2007
2008
2009

2010
2011
2012

2013
2014
2015

2016
2017
2018

2019
2020
2021

Zentralanstalt für Meteorologie und Geodynamik in Wien

SEISMISCHE AUFZEICHNUNGEN in WIEN

Wien- Hohe Warte $\varphi = 48^{\circ}14.9'N$
 $\lambda = 16^{\circ}21.7'E$

Höhe über dem Meer = 198 m
 Untergrund: Löß, darunter Lehm

Instrumente: Horizontalseismograph WIECHERT, 1000 kg (N,E)
 Vertikalseismograph WIECHERT, 1300 kg (Z)
 Nahbebenpendel nach CONRAD, 24 kg (Co)

Wien- Kobenzl $\varphi = 48^{\circ}15.9'N$
 $\lambda = 16^{\circ}19.1'E$

Höhe über dem Meer = 400 m
 Untergrund: Sandstein

Instrumente: 3 Nahbebenpendel "STUTTGARTER SATZ" (N',E',Z')

- März 1967 -

Datum	Phase	G.M.T.	D (km)	Bemerkungen
-------	-------	--------	--------	-------------

Pendelkonstanten am 8. März 1967

				Komp.	V	T_0	$\xi:1$	r/T_0^2
	WIECHERT-Horizontal	1000 kg		NS	160	8.9 ^s	3.7	0.004
				EW	165	8.9	4.4/3.9	0.002
	WIECHERT-Vertikal	1300 kg		Z	200	2.25	3.3	0.008
1.3.	eP	10 19 55						
	eipP	20 06						
								schwach, nur in Z'
								BCIS: Süd-Iran
2.3.	eiP	03 00 35.3						schwach USCGS: Ekuador
2.3.	eiz'P	23 15 11.5 C						USCGS: Ostküste Kamtschatkas
3.3.	iPg	12 02 57.6	(320)					N E: nicht registriert
	(i)PgPg	03 00						N'Z': PgPg in Minutenlücke
	i	03 12						
	iSn	03 20						
	iSb	03 26						
	iSg	03 37						
4.3.	ePn	00 01 35	570					E': schwach N E Z: -
	i(PgPg)	02 06						BCIS: 43.8°N, 12.8°E
	eSn	02 35						Apennin, Italien
	iSgSg	03 10						H = 00 00 22
4.3.	iP	05 21 42.2 C						USCGS: bei Formosa
4.3.	eiPKP	06 35 40.0 D	16400					USCGS: 18.5°S, 175.4°W
	iPKP2	35 46						Tonga-Inseln
	eipPKP	36 39						h = 225 km H = 06 16 21.9
	ipPKP2	36 46						

Datum	Phase	G.M.T.	D (km)	Bemerkungen
4.3.	iPn iPgPg iPgPgPg iSn i i! iSgSg iSgSgSg M M	18 00 41.7 01 35 01 40 02 38 02 46 03 33 03 59 04 08 05 07	DSE 1180	BCIS: 39.2°N, 24.6°E, Ägäis H = 17 58 01 E: bei M-Phase Schreibhebel aus den Lagern gehoben N: 11 ^s , \approx 600 μ N' E' Z': 6 ^s ; Z: 4.3 ^s , 140 μ
4.3.	ePn	18 40 41		BCIS: Nachbeben in der Ägäis
5.3.	iP	17 24 43.6	D	BCIS: Rumänien
6.3.	iPg iSg i	02 33 09.0 33 29 33 31	C 148	Epizentrum: 47.5°N, 14.7°E Eisenerzer Alpen, Steiermark L ₀ = 4° MS BCIS: H = 02 32 43
6.3.	eizz'P	04 52 04.5		USCGS: bei Honshu, Japan
6.3.	ePKP ei	08 31 19 31 29		N' Z': schwach E': Spuren NEZ: - USCGS: südlich der Fidschi-Inseln
6.3.	iP	11 40 55.8	D	USCGS: bei Nord-Sumatra
7.3.	ePn iPb iPg iPgPg iSn i iSb iSg iSgSg M	08 01 51 02 02 02 13 02 16 02 42 02 47 03 05 03 15 03 20 03.5	550	BCIS: 43.4°N, 17.7°E, bei Mostar Herzegowina, Jugoslawien H = 08 00 35 Z: 3 ^s
7.3.	eiPg iSn iSg	19 36 04.3 36 22 36 30	(210)	N E Z: nicht registriert PRUHONICE: D = 189 km
9.3.	eiz'PP	07 20 28.8		USCGS: Santa-Cruz-Inseln
9.3.	iz'PKP2	21 44 58.3	D	USCGS: Region der Fidschi-Inseln
10.3.	ei(Pn) ei(Pb) i(Pg) i(Sn) i(Sg)	04 22 15.3 22 19 22 22 22 37 22 49	D 230?	N E: Spuren Z: -
10.3.	ez'	16 01 22		
11.3.	eP	14 57 57.5		nur in N'Z' USCGS: Mexiko

Datum	Phase	G.M.T.	D (km)	Bemerkungen
11.3	e(Pg) e(Sg)	16 21 47 22 54	560?	N E Z: nicht registriert
12.3.	eP	03 03 51		mur in N'Z' USCGS: Hokkaido, Japan
13.3.	ePn iPb iPg iSn i iSb iSg	11 23 46 23 51 23 56 24 18 24 21 24 26 24 34	320	N E Z: Spuren BCIS: 50.6°N, 14.1°E, Sprengung Tschechoslowakei H = 11 22 52
13.3.	eiP	19 28 59.0		N E: Spuren BCIS: Rotes Meer
14.3.	iP isP iPcP i N	07 08 22.0 C 08 32 09 05 10 22 39.7	6800	N: - E: nur M Z: nur P USCGS: 28.4°N, 94.3°E, Grenzregion Indien-China H = 06 58 04.6 E: 10 ^S , 7 ^μ
14.3.	iP eisP iPP iLR eSeS i M M	07.57 09.0 C 57 23 58 24 08 06 52 07-31 09 17 09.8 11	3900	N E Z: nur M-Phase USCGS: 82.5°N, 36.2°E Franz-Josef-Land H = 07 50 19.3 N E: 5 ^S ; E': 4 ^S N'Z': 4 ^S
14.3.	ePKP iPKP2 i(pPKP)	23 43 26 43 32 45 07		mur in N' Z' USCGS: südlich der Fidschi-Inseln
15.3.	iPg i ei i eiSg iSgSg	03 40 40.5 C 40 47 40 51 41 11 41 22 41 27	(370)	Herd in Jugoslawien?
16.3.	iPKP iPKP2 i	12 29 14.0 C 29 31 29 45		N E: nicht registriert USCGS: Loyalty-Inseln
16.3.	ez'P	16 07 02		BCIS: Rotes Meer
17.3.	e e i i	09 00 51 01 04 01 19 03 18		N'E'Z': schwach N E Z: -
17.3.	i(Sg)	10 00 03		N E Z: nicht registriert

Datum	Phase	G.M.T.	D (km)	Bemerkungen
17.3.	ez'PKP iz'	11 43 43 45 37		USCGS: Neu-Irland
17.3.	i(Sg)	14 49 50		N'E': vorher Spuren NEZ: -
19.3.	eiPKP iPP i	01 29 12.5 29 54 30 39		N E: nicht registriert USCGS: Banda-See
19.3.	eiP iPcP iPP eS eiPS M M	04 13 37.0 C 13 45.5 16 39 23 39 24 25 50 54	8800	USCGS: 45.4°N, 151.3°E, Kurilen H = 04 01 36.7 N: 16 ^s , 39 ^μ E: 13 ^s , 26 ^μ
19.3.	ePg iSg	11 00 08 00 44	295	N E Z: nicht registriert PRUHONICE: Sprengung
19.3.	iz' i	21 14 19.0 14 29		fragliches Erdbeben N E Z: nicht registriert
20.3.	iP	13 43 32.8 C		N E: - USCGS: Kurilen
20.3.	iP	13 52 51,8 C		N E: - USCGS: Kurilen
20.3.	iP	14 04 06.5 C		N E: - USCGS: Kurilen
20.3.	eiP	17 23 35.8 C		N E Z: - USCGS: Kurilen
20.3.	eiPKP	19 27 06.2 C		N E: - USCGS: Loyalty-Inseln
20.3.	ez'(sP)	22 36 09		BCIS: Nord-Irak
22.3.	iPn iPb i iPg iSn i iSb iSg iSgSg M	19 15 42.5 C 15 49 15 53 15 55 16 15 16 25 16 27 16 34 16 38 16.8	340	BCIS: 46.3°N, 12.6°E, Italien Venetianer Alpen H = 19 14 51
23.3.	ez'PKP	00 55 21		USCGS: Fidschi-Inseln
23.3.	Spuren	13 54.2		nur in Z' USCGS: Kurilen
24.3.	eP eipP eiPP ipPP	09 12 54 15 06 17 03 18 55	10900	Z: nur PP N E: - USCGS: 6.0°S, 112.3°E, Java-See h = 600 km H = 09 00 19.5

Datum	Phase	G.M.T.	D (km)	Bemerkungen
24.3.	eiPn iPb eiPg i iSn i iSb i iSg i! M	17 39 48.0 C 40 05 40 13 40 18 40 53 41 01 41 15 41 19 41 29 41 38 42.0	680	BCIS: 46.4°N, 7.4°E, Freiburger Alpen, Wallis, Schweiz H = 17 38 15 N: 7 ^s , 10 _μ ; E: 5 ^s , 6 _μ
24.3.	ePKP eiPKP2	23 18 24 18 34		mur in Z' USCGS: Region der Fidschi-Inseln
25.3.	eP ez' ePP	06 05 34 07 02 07 07		mur in N'Z' BCIS: Kasakstan, USSR.
25.3.	iP ipP ipPcP	23 00 00.0 C 00 13 00 22		N E Z: nicht registriert USCGS: Kurilen
27.3.	eiP eipP	08 38 55.0 D 41 06		N'Z': schwach N E E'Z: - USCGS: West-Brasilien
27.3.	eiP i ipP iPcP M	09 09 23.7 D 09 30 09 41 09 47 36	7600	USCGS: 38.4°N, 116.5°E Nordost-China h = 61 km H = 08 58 25.5 N'E'Z': 10 ^s
27.3.	eiP	20 00 19.5 C.		N E Z: - BCIS: Rotes Meer
28.3.	e i	00 07 14 07 44		schwach, nur in N'Z' BCIS: Ägäis
28.3.	ePgPg i iSn ei i i iSgSg i	15 51 49 52 09 52 48 53 09 53 21 53 41 53 46 53 51	910	BCIS: 50.5°N, 4.1°E, Belgien H = 15 49 25
28.3.	ez'P	19 45 11		USCGS: Philippinen
30.3.	ez'P eiz'(PKP) ei i(pPKP)	02 22 06 26 20 26 23 26 30		N E Z: nicht registriert USCGS: südlich von Bali

Datum	Phase	G.M.T.	D (km)	Bemerkungen
30.3.	iPn i (i)PgPg iSn i iSgSgSg	13 50 36.5 D 50 48 51 00 51 44 51 51 52 28	620	Z: Spuren N E: - BCIS: 43.4°N, 20.8°E Serbien, Jugoslawien H = 13 49 11
30.3.	ePKP eipPKP	23 24 26 24 36		nur in Z' auswertbar N E: - USCGS: Fidschi-Inseln
31.3.	eiP	02 24 26.0 C		N E Z: - USCGS: Aleuten
31.3.	iz'(P)	03 06 59.2 C		
31.3.	e(Sg)	15 08 38		N'E'Z': schwach N E Z: -
31.3.	eiPKP	20 24 22.7 C		N E: - USCGS: Neue Hebriden
31.3.	eiPg eiz'Sg i i!	23 23 22.1 D 23 41 23 43 23 55	68	Epizentrum: 47.7°N, 16.0°E, Wimpassing bei Neunkirchen, Niederösterreich I ₀ = 4.5° MS F = 150 km ²

W i e n , 13. Juni 1967

 J. Drimmel
A. Führinger
E. Trapp

Zentralanstalt für Meteorologie und Geodynamik in Wien

SEISMISCHE AUFZEICHNUNGEN in WIEN

Wien- Hohe Warte $\varphi = 48^{\circ}14.9'N$ Höhe über dem Meer = 198 m
 $\lambda = 16^{\circ}21.7'E$ Untergrund: Löß, darunter Lehm

Instrumente: Horizontalseismograph WIECHERT, 1000 kg (N,E)
 Vertikalseismograph WIECHERT, 1300 kg (Z)
 Nahbebenpendel nach CONRAD, 24 kg (Co)

Wien- Kobenzl $\varphi = 48^{\circ}15.9'N$ Höhe über dem Meer = 400 m
 $\lambda = 16^{\circ}19.1'E$ Untergrund: Sandstein

Instrumente: 3 Nahbebenpendel "STUTTGARTER SATZ" (N',E',Z')

- A p r i l 1 9 6 7 -

Datum	Phase	G.M.T.	D (km)	B e m e r k u n g e n
Anmerkung: Für den STUTTGARTER Satz (N'E'Z') können derzeit noch keine endgültigen Konstanten angegeben werden.				
1.4.	eiP iPcP ipPcP iPP e eSKS	06 06 18.5 C 06 29 06 39 09 20 10 26 16 34	8750	USCGS: 45.8°N, 151.8°E, Kurilen H = 05 54 19.1
1.4.	eiP	06 09 06.0 C		USCGS: Kurilen
1.4.	eP ei	08 00 28 01 21		schwach, nur in N'Z' USCGS: Kurilen
1.4.	eiP iPcP ipPcP i ePP eSKS M	12 35 34.8 C 35 45 35 54 36 35 38 35 45 48 13 15.7	8750	USCGS: 45.7°N, 151.8°E, Kurilen H = 12 23 35.5 N: 12 ^s ; E: 13 ^s
1.4.	ez'P	12 47 05		USCGS: Island
1.4.	eiP	14 12 35.5 C		E': Spuren N E: - USCGS: Kurilen
1.4.	iz'P	17 33 09.3 C		USCGS: Kurilen
2.4.	i(P)	09 02 40.0 D		
3.4.	eP	07 45 03		N E Z: - USCGS: Rotes Meer
3.4.	iz'PKP	08 23 15.2 C		USCGS: Neu-Britannien

Datum	Phase	G.M.T.	D (km)	Bemerkungen
3.4.	ePKP eipPKP	13 18 26 18 40		NEE': störende Mikroseismen USCGS: Tonga-Inseln
3.4.	iPn eiFb iPg i iSn i iSb iSg i i!L M	16 37 36.3 37 49 37 58 38 16 38 26 38 36 38 55 39 04 39 06 39 12 39.4	550	BCIS: 44.8°N, 10.9°E, Norditalien, Region Emilia-Romagna H = 16 36 18
4.4.	eP eipP	04 06 26 06 40		N'E'Z': schwach NE Z: - USCGS: Kurilen
4.4.	ez'(P) iz'	17 02 23 02 31		BCIS: Mittelmeer bei Kreta
4.4.	iP	18 07 53.3.C		NE Z: - BCIS: Rumänien
5.4.	eiP iPP	02 47 49.2 D 51 53		schwach, Mikroseismen USCGS: Marianen
5.4.	ez' iPP	03 01.6 05 37		schwach, Mikroseismen USCGS: Marianen
5.4.	ei i izz' i	16 03 42.5 C 03 51 03 56 04 04		NE: nicht registriert
5.4.	ePKP	22 49 06		NE Z: - USCGS: Macquarie-Inseln
6.4.	Spuren e	02 46.8 47 17		N'Z': Spuren NEE' Z: - USCGS: Ryukyu-Inseln
6.4.	iP e	06 29 50.0 30 03		N'E'Z': schwach NE Z: - USCGS: bei Honshu, Japan
6.4.	ez'P	09 02 06		USCGS: bei Honshu, Japan
6.4.	iPP	12 39 42		NEE': - USCGS: Marianen
6.4.	iP	13 03 43.5 D		NE Z: - BCIS: Südwest-Iran
6.4.	iPg iPgPg iSg iSgSg	13 47 54.7 47 57 49 12 49 16	620	N'E'Z': schwach NE Z: - BCIS: 42 3/4°N, 19.0°E Montenegro, Jugoslawien H = 13 46 08
6.4.	ez'P	23 41 19		USCGS: bei Honshu, Japan

Datum	Phase	G.M.T.	D (km)	B e m e r k u n g e n
6.4.	ez'P	23 44 29		USCGS: bei Honshu, Japan
7.4.	eiP (M)	17 11 26.5 C 19.8		E Z: Spuren N: - BCIS: Südost-Anatolien
7.4.	iP i eiPP ePPP i M	18 37 43.5 C 37 54 37 58 38 08 38 22 46.5	2100	N E: störende Mikroseismen BCIS: 37.3°N, 36.4°E, Südost-Anatolien H = 18 33 31 N E: 7.5 ^S
8.4.	ePKP iPKP2 eipPKP ipPKP2 ePP	05 53 58 54 07 56 18 56 27 57 33	16500	Z: schwach N E: - USCGS: 19.9°S, 178.6°W Region der Fidschi-Inseln h = 616 km H = 05 35 17.1
8.4.	iPg iSn iSb iSg	13 00 15.5 C 00 40 00 52 00 57	340	N E Z: nicht registriert MOXA: Sprengung
9.4.	ez'PP	00 24 28		USCGS: West-Neuguinea
9.4.	i(Pg) ei(Sn) i(Sg)	07 07 53.5 C 08 23 08 53	(480)	N E Z: nicht registriert BCIS: 45.9°N, 10.9°E, Norditalien Gardasee H = 07 06 39
9.4.	(i)PKP	09 16 00		N E Z: - USCGS: Salomon-Inseln
10.4.	eizz'PKP2	00 17 06.3		USCGS: Region der Tonga-Inseln
10.4.	eiz'PKP	05 18 55.0		USCGS: Salomon-Inseln
10.4.	i i	10 06 53.3 D 07 07		N E Z: nicht registriert fragliches Erdbeben
10.4.	eiPKP	15 21 45.0 D		N E Z: - USCGS: Salomon-Inseln
10.4.	ez'P	20 08 57		USCGS: Alaska
10.4.	eiPKP	22 08 22.2 D		N E Z: - USCGS: Salomon-Inseln
11.4.	ePP	05 27 18		N E E' Z: - USCGS: Celebes
12.4.	eiz'PKP	04 50 55.5 C		USCGS: Neue Hebriden
12.4.	iP i!PcP ipP ipPcP i!z' i!	05 03 42.5 C 03 49 03 54 04 00 04 50 04 56	8800	USCGS: 5.3°N, 96.5°E, Nord-Sumatra h = 55 km H = 04 51 40.2

Datum	Phase	G.M.T.	D (km)	Bemerkungen
21.4.	iPP eipPP	08 33 12.0 33 20		N'Z': schwach N E E'Z: - USCGS: Banda-See
21.4.	eiz'(P)	18 07 17.7		
22.4.	eiP	13 19 42.0 C		mur in N'Z' USCGS: Nord-Sumatra
23.4.	ei i	08 40 40 40 49		N'E'Z': schwach N E Z: -
23.4.	eiP	09 34 03.5		schwach N E Z: - BCIS: Algerien
24.4.	eP	08 58 58		N E Z: - USCGS: Tadschikistan,USSR.
24.4.	eP e	11 57 37 57 54		mur in Z' USCGS: Indik
24.4.	eP	15 23 25.5		schwach N E Z: - USCGS: China
25.4.	iP eipP eisP	10 39 15.3 C 39 25 39 29		Z: Spuren N E: - USCGS: Nord-Sinkiang,China
26.4.	e(P)	22 06 05		N E E'Z: -
27.4.	e(Pg) ei(Sn) i(Sg) i	21 36 54 37 12 37 25 37 33	(270)	N E Z: nicht registriert
27.4.	eP	23 23 40.5		N E E'Z: - USCGS: Sinkiang,China
28.4.	i	08 00 10		N E Z: nicht registriert
28.4.	i	09 01 12.8		N E Z: nicht registriert
29.4.	eiP eiPcP ipP	04 07 25.7 C 07 33 07 40		N E: - USCGS: Aleuten
29.4.	ez'(P)	12 50 46		

W i e n , 25.Juni 1967

J.Drimmel
A.Pühringer
E.Trapp

26 SEP 1967

Zentralanstalt für Meteorologie und Geodynamik in Wien
SEISMISCHE AUFZEICHNUNGEN in WIEN

Wien- Hohe Warte $\psi = 48^{\circ}14.9'N$
 $\lambda = 16^{\circ}21.7'E$

Höhe über dem Meer = 198 m
 Untergrund: Löß, darunter Lehm

Instrumente: Horizontalseismograph WIECHERT, 1000 kg (N,E)
 Vertikalseismograph WIECHERT, 1300 kg (Z)
 Nahbebenpendel nach CONRAD, 24 kg (Co)

Wien- Kobenzl $\psi = 48^{\circ}15.9'N$
 $\lambda = 16^{\circ}19.1'E$

Höhe über dem Meer = 400 m
 Untergrund: Sandstein

Instrumente: 3 Nahbebenpendel "STUTTGARTER SATZ" (N',E',Z')

- M a i 1 9 6 7 -

Datum	Phase	G.M.T.	D (km)	B e m e r k u n g e n
1.5.	iPn	07 11 18.2 C	1050	BCIS: $39.5^{\circ}N, 21.2^{\circ}E$
	i	12 03		Nordwest-Griechenland
	iPgPg	12 07		H = 07 09 02 M = 6-6.5
	iSn	13 05		
	iSgSg	14 14		
	iSgSgSg	14 22		
	i!	14 44		
	M	16		N: $(8.7^S, 106\mu)$ E: $10.7^S, 181\mu$
1.5.	(e)z'Pn	08 18(01)		BCIS: Nachbeben
1.5.	Spuren	09 50.0		BCIS: Nachbeben
1.5.	iPn	09 52 25.6 D	1050	BCIS: Nachbeben in Griechenland
	i	52 51		H = 09 50 08
	eiPgPg	53 13		
	i	53 46		
	ei(Sn)	54 16		
	M	57		E: 9^S
1.5.	ez'Pn	14 40 21		BCIS: Nachbeben
1.5.	Spurem	16 42.4		BCIS: Nachbeben
2.5.	Spuren	01 29.7		BCIS: Nachbeben
2.5.	Spuren	08 14.3		BCIS: Nachbeben
2.5.	eiz'PP	17 30 11.6		USCGS: Ost-Neuguinea
2.5.	Spuren	19 31.7		BCIS: Nachbeben in Griechenland
3.5	ePn	18 44 04		BCIS: Nachbeben
	M	48.5		E: 8^S

Datum	Phase	G.M.T.	D (km)	Bemerkungen
4.5.	eiPKP2 eipPKP2	10 38 49.5 38 59		schwach, nur in Z' USCGS: Fidschi-Inseln
4.5.	ePn eiPgPg iPgPgPg iSn	13 33 23 34 13 34 17 35 10	1050	E': sehr schwach NEZ: - BCIS: Nachbeben in Griechenland H = 13 31 07
5.5.	ePn iPgPg	06 28 53 29 43		N'E': Spuren NEZ: - BCIS: Nachbeben
5.5.	e e	12 59 13 59 25		N'E'Z': schwach NEZ: -
5.5.	ez'PP	17 55 25		schwach USCGS: Java
6.5.	e(P)	20 00 20		nur in N'Z' USCGS: Hokkaido, Japan
8.5.	eiPKP2	19 05 37		nur in N'Z' USCGS: Kermadec-Inseln
9.5.	eiP ipP isP i(sPcP)	06 26 59.0 C 27 09 27 14 27 24		NE: Spuren USCGS: Kurilen
9.5.	ez'Pn	08 03 04		BCIS: Nachbeben in Griechenland
9.5.	Spuren	12 48.2		nur in Z' USCGS: Kodiak-Insel
9.5.	ez'PKP	20 33 04		schwach USCGS: Tonga-Inseln
9.5.	ez'P	21 44 15		schwach USCGS: Philippinen
10.5.	Spuren eSn eiSg	05 24.2 24 23 24 57		schwach, nur in N'Z' BCIS: Apennin bei Parma, Italien
10.5.	iPg i iSg iL	07 51 32.8 C 51 41 51 53.5 51 56	172	NEZ: nicht registriert Epizentrum: 47.8°N, 14.2°E, Lokalbeben bei Klaus, Oberösterreich I ₀ = 5° MS. BCIS: 07 51 02
10.5.	eiz'P	17 52 25.0 C		schwach USCGS: Formosa
11.5.	iP ipP i iPP ipPP iPcP iPPP iSS LR M	14 58 51.0 C 58 58 59 26 15 00 32 00 38 00 47 01 04 08 10 11.1 17	4700	USCGS: 39.4°N, 73.8°E, Grenze Tadschikistan, USSR. - Sinkiang, China H = 14 50 58.8

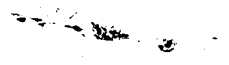
Datum	Phase	G.M.T.	D (km)	B e m e r k u n g e n
11.5.	e	15 35 09		schwach, nur in N'Z'
12.5.	ez'Pn iz'Pg iPgPg iSn i iSg i i! M	17 54 43 55 07 55 10 55 43 55 47 56 16 56 23 56 26 56.6	590	BCIS: 44.6°N, 10.4°E, Italien Apennin, südlich von Parma H = 17 53 24 N E Z: 3 ^S
13.5.	ez'(P)	05 30 37		schwach USCGS: Kodiak-Insel
13.5.	e(Pb) eiPg i(Sb) iSg	12 00 28.5 00 31 01 05 01 09	320	N E Z: nicht registriert PRUHONICE: Sprengung
13.5.	ei(Pn) i(Pg) i(Sg)	20 10 02.2. C 10 04 10 22	(160)	N E Z: nicht registriert
14.5.	ePn i i(Sn)	04 18 37 19 18 20 51		E'Z: Spuren BCIS: Ionisches Meer
15.5.	eiP	02 40 13.2 C		N E Z: - USCGS: bei Honshu, Japan
15.5.	eP iPP iSS	08 16 37 16 50 19 46	1750	E'Z: schwach BCIS: 34.6°N, 26.9°E, bei Kreta H = 08 12 56
15.5.	ePn ePb iPg iSn i iSgSg i	10 04 56 05 08 05 20 05 57 06 00 06 36 06 39	600	BCIS: 44.6°N, 10.4°E, Italien Apennin, südlich von Parma H = 10 03 34
16.5.	ei(Sn) iz' i(Sg)	13 27 38.5 27 40 28 02	(410)	N E Z: nicht registriert TRIESTE: D = 75 km ca
16.5.	iPKP	16 34 02.2 D		nur in N'Z' USCGS: Tonga-Inseln
16.5.	eiP	19 37 36.0 C		nur in N'Z' USCGS: bei Honshu, Japan
16.5.	e(Pn) e ePgPg ei eSg	21 18 03 18 12 18 31 18 53 19 46	650	N'Z': schwach E': Spuren N E Z: - BCIS: 42.9°N, 20.3°E, Jugoslawien H = 21 16 34

Datum	Phase	G.M.T.	D (km)	Bemerkungen
17.5.	Spuren ez'PP	04 34.0 34 11		NEE'Z: nicht registriert BCIS: Grenze Iran-Türkei
17.5.	iz'P	17 57 20.2 D		BCIS: Rotes Meer
18.Mai 4h bis 19.Mai 11h: Z' - Komponente registriert rückläufig				
18.5.	Spuren	04 18.9		NEZ: - USCGS: Hokkaido, Japan
18.5.	iP	11 34 36.0 C		NEZ: - USCGS: Hokkaido, Japan
18.5.	i(Sb) i(Sg) i(SgSg)	15 44 34.5 44 41 44 44	(280)	nur in N' auswertbar NEZ: - PRÜHONICE: D = 38 km
18.5.	eiP	23 51 32.0		nur in N'E' USCGS: Kyushu, Japan
19.5.	ei(P)	13 10 53.5		NEE'Z: nicht registriert
19.5.	iP	16 00 03.0 D		nur in N'Z' USCGS: Äthiopien
20.5.	eiPg eSb iSg iSgSg i	11 45 57.0 46 27 46 32 46 37 46 41	300	NEZ: nicht registriert PRÜHONICE: Sprengung, 20.7 t
20.5.	eiP	15 12 37.5 C		NEZ: - UPPSALA: Nevada, USA.
20.5.	ez'P eSS i	23 22 49 26 59 29 14		NEZ: nicht registriert BCIS: Karelien, USSR.
21.5.	i!P i!pP i! isP iPP iSKS eiS iSP isS	18 57 41.5 C 58 23 58 29 58 42 19 01 11 07 49 08 05 09 08 09 18	9700	USCGS: 1.0°S, 101.5°E, Süd-Sumatra h = 173 km H = 18 45 11.7
23.5.	eP	01 34 25		nur in N'Z' USCGS: Kurilen
23.5.	eiP	02 04 43.0 C		NE: - USCGS: Kurilen
23.5.	i	14 12 37.5 C		NEZ: - MOXA: Nevada, USA.?
23.5.	i	16 03 51.0		E'Z: Spuren NE: -
25.5.	e(Sb) i(Sg)	12 31 31 31 35		NEE'Z': schwach NEZ: -

Datum	Phase	G.M.T.	D (km)	Bemerkungen
26.5.	i i(Sg) i	08 26 05 26 30 26 33		NEZ: nicht registriert PRUHONICE: D = 255 km
26.5.	iPn	17 34 46.5 C		NEE'Z: - BCIS: Vrancea, Rumänien
27.5.	ez'	01 52 33		schwach
27.5.	eiP	01 58 29.5 C		NEZ: - BCIS: Algerien
27.5.	iP iPcP eisS M M	17 34 59.7 C 35 09 45 30 18 10.5 13.5	8750	USCGS: 51.9°N, 176.1°E, Aleuten H = 17 22 58.7 N: 20 ^S E: 14 ^S
27.5.	eP ei iPP eipPP	19 14 10 14 16 16 01 16 11	5150	USCGS: 36.1°N, 77.8°E Grenze Kaschmir-Sinkiang, China
28.5.	eiP i iPP	04 15 32.5 C 17 03 17 06		NEZ: nicht registriert BCIS: Kasakstan, USSR
28.5.	eiP ipP	12 28 10 28 21		schwach, nur in N'Z' USCGS: Uganda
29.5.	eiPKP2	11 29 15		nur in N'Z' USCGS: Fidschi-Inseln
29.5.	eiP iPcP eipP isP	21 13 38.7 C 13 49 14 02 14 14		NE: nicht registriert USCGS: Hokkaido, Japan
30.5.	ez'P	23 57 28		BCIS: südöstlich von Kreta

W i e n, 31. August 1967

J. Drimmel
A. Pühringer
E. Trapp



Zentralanstalt für Meteorologie und Geodynamik in Wien

SEISMISCHE AUFZEICHNUNGEN in WIEN

Wien- Hohe Warte $\varphi = 48^{\circ}14.9'N$
 $\lambda = 16^{\circ}21.7'E$

Höhe über dem Meer = 198 m
Untergrund: Löß, darunter Lehm

Instrumente: Horizontalseismograph WIECHERT, 1000 kg (N,E)
Vertikalseismograph WIECHERT, 1300 kg (Z)
Nahbebenpendel nach CONRAD, 24 kg (Co)

Wien- Kobenzl $\varphi = 48^{\circ}15.9'N$
 $\lambda = 16^{\circ}19.1'E$

Höhe über dem Meer = 400 m
Untergrund: Sandstein

Instrumente: 3 Nahbebenpendel "STUTTGARTER SATZ" (N',E',Z')

- Juni 1967 -

Datum	Phase	G.M.T.	D (km)	Bemerkungen
<u>Pendelkonstanten am 16. Juni 1967</u>				
				Komp. V T ₀ ε:1 r/T ₀ ²
			WIECHERT-Horizontal 1000 kg	(NS 155 8.8 ^s 3.8 0.004 EW 155 9.0 4.0 0.003
			WIECHERT-Vertikal 1300 kg	Z 200 2.25 3.5 0.010
1.6.	eiP	03 48 15.5		schwach USCGS: Aleuten
1.6.	eiz'P	10 42 51.8 C		N E: nur Hauptphase registriert
	i	42 55		BCIS: südliche Türkei
	LR	46.4		
	M	48.5		
1.6.	ei(Sb)	11 04 59		schwach, nur in Z'
	i(Sg)	05 05		MOXA: Sprengung
1.6.	ez'P	11 15 48		schwach USCGS: Kurilen
1.6.	eiPKP	21 06 46.5		N E Z: - USCGS: Salomon-Inseln
2.6.	ez'P	05 15 50		BCIS: Westküste des Kaspisees
2.6.	eiP	06 41 39.5		nur in N'Z' USCGS: Mittelatlantik
3.6.	eiP	09 20 25.7 C		N E Z: nicht registriert
	eipP	20 35		USCGS: bei Insel Kodiak
4.6.	eP	05 38 28		nur in N'Z' registriert
	i	38 33		USCGS: bei Ostküste von Kamtschatka
5.6.	ePKP	01 41 04		USCGS: Tonga-Inseln
	eipPKP	41 13		
	iPKP2	41 23		

Datum	Phase	G.M.T.	D (km)	Bemerkungen
5.6.	eP	16 50 20		N E Z: - USCGS: bei Kamtschatka
6.6.	eiPKP	06 54 09.5 C		mur in N'Z' USCGS: Neu-Britannien
7.6.	ez'P	03 03 09		schwach USCGS: Island
7.6.	iPg i iSg i!L iL	16 19 50.2 D 19 53 20 08.5 20 10 20 11	155	Epizentrum wie 29.Jan.: 47.9°N, 14.3°E Molln, Oberösterreich $I_0 = 5^{\circ}$ MS. F = 500 km ² BCIS = 16 19 25 N'E'Z' N E Z
7.6.	ez'P	17 10 09		USCGS: Grenze USSR. - Mongolei
7.6.	Spuren	18 28.5		mur in Z' USCGS: Kurilen
8.6.	e ei	13 29 22 29 27		schwach N E Z: - kein Erdbeben?
8.6.	iPKP iPKP2 ipPKP	13 41 43.5 41 45 42 03		USCGS: Gebiet der Loyalty-Inseln
8.6.	ePn	21 12 21		mur in N'Z' BCIS: Jugoslawien
8.6.	ePn iPg iSn iSg i	21 28 02 28 11 28 34 28 44 28 48	275	N'E'Z': schwach N E Z: - BCIS: 46.0°N, 14.8°E bei Laibach, Jugoslawien H = 21 27 20
9.6.	eSb iSg	12 01 06 01 12	290	E': Spuren N E Z: - PRUHONICE: Sprengung
10.6.	eiP	05 55 42.3		N E Z: - USCGS: Ascension, Atlantik
10.6.	eiPKP eipPKP	14 17 35.5. C 19 57		N E Z: nicht registriert USCGS: Fidschi-Inseln, Tiefherdbeben
10.6.	e	14 26 04		schwach, mur in N'Z'
10.6.	e(Sg) ei	14 48 18 48 21		N'E'Z': schwach N E Z: - PRUHONICE: D = 244 km
10.6.	eP	18 14 43		mur in N'Z' USCGS: Nordatlant. Rücken
11.6.	ez'Pn	05 37 42		BCIS: Golf von Korinth, Griechenland
11.6.	eiPg ei iSg iL	10 39 05.0 39 07 39 17 39 19	93	Epizentrum: Klein Karpaten, CSSR. (?) N E: Sg in Minutenlücke
11.6.	eiP	12 02 13.7		mur in N'Z' USCGS: Kurilen

Datum	Phase	G.M.T.	D (km)	Bemerkungen
12.6.	ez'P	00 15 12		USCGS: Nordatlantischer Rücken
12.6.	e(Sn)	00 23 25		schwach CINE: (D = 275 km)
12.6.	e	01 08 54		schwach nur in N'Z'
12.6.	ePn	01 31 48		nur in N'Z' BCIS: Griechenland
12.6.	ez'Pn	02 53 42	1220	Z: Spuren E': schwach
	ei	53 46		BCIS: 38.1°N, 22.8°E, Griechenland
	iPgPgPg	54 39		H = 02 51 05
	eiSn	55 43		
	iSgSgSg	57 13		
12.6.	iz'P	05 34 27.0		
12.6.	ePn	18 15 08		nur in N'Z' BCIS: Griechenland
12.6.	eP	21 30 40		nur in N'Z' USCGS: Süd-Sumatra
12.6.	iP	23 34 38.8 C		N E Z: nicht registriert
	eipP	34 52		
13.6.	ez'	01 22 56		
13.6.	eiPKP	03 31 34.5 D		nur in N'Z' USCGS: Loyalty-Inseln
13.6.	e	06 01 52		schwach, nur in N'Z'
13.6.	eiSg	12 01 39	295	N'E'Z': schwach N E Z: -
	i	01 46		PRUHONICE: Sprengung
	iSgSgSg	01 51		
13.6.	ez'PP	15 59 33		schwach USCGS: Neu-Britannien
13.6.	eiPg	17 40 13.4	155	erster Pg-Einsatz WIEN-Kobenzl
	iPg	40 14.4		Epizentrum wie 29. Jan.: 47.9°N, 14.3°E
	iSg	40 32.5		Mölln, Oberösterreich Io = 5° MS.
	iL	40 34		F = 250 km ² BCIS: H = 17 39 46
13.6.	eP	23 14 41		schwach, nur in N' Z'
	iz'	14 55		USCGS: östlicher Kaukasus
14.6.	eiP	03 57 15.5.D		nur in N'Z' USCGS: Ostküste Sibiriens
14.6.	ePKP	05 25 57		USCGS: Tonga-Inseln
	eipPKP	26 02		
	i	26 13		
14.6.	eiP	08 17 52.4 C		E': Spuren N E: -
	iz'pP	18 06		USCGS: Kurilen
14.6.	iP	08 24 56.8 C		N E E': Spuren USCGS: Kurilen
	iz'pP	25 10		

Datum	Phase	G.M.T.	D (km)	Bemerkungen
15.6.	ez'PKP	05 09 30		schwach USCGS: Tonga-Inseln
15.6.	ez'P	07 30 00		USCGS: Mittelatlantischer Rücken
15.6.	iP iPPP	15 00 18.4 00 44		N'E'Z': schwach N E Z: - BCIS: Mittelmeer bei Zypern
15.6.	ei(Sn) ei(Sg) i(SgSg)	15 47 10 47 17 47 21	(270)	N E Z: nicht registriert PRUHONICE: D = 266 km
15.6.	iP	18 52 13.0		N E Z: - USCGS: Mittelatlantik
15.6.	(i)Pg iL	19 14 00 14 20		N'Z': Pg in Minutenlücke N Z: - Nachbeben in Molln, Oberösterreich
16.6.	iPg eSg iL	00 20 49.5 21 01 21 03	93	in Z nicht registriert BCIS: Kleine Karpaten, ČSSR., Vorbeben H = 00 20 37
16.6.	e ei(Sg)	14 35 37 35 52		N'E'Z': schwach N E Z: -
16.6.	eiPKP2	20 31 56		mur in N'Z' USCGS: Tonga-Inseln
16.6.	ePn ePb ePg eSn eiSb eSg eiSgSg	22 58 04 58 14 58 26 59 02 59 21 59 34 59 39	550	N'E'Z': schwach N E Z: - BCIS: 44.0°N, 20.0°E, Serbien, Jugoslawien H = 22 56 57
17.6.	e(P) eiPKP eiPP ePKS eSKS iPPS	05 14 38 18 31 19 20 22 03 24 56 28 56	12500	USCGS: 58.3°S, 26.6°W Gebiet der Süd-Sandwich-Inseln h = 140 km H = 05 00 11.8
17.6.	ez' ePb i iPgPg ePgPgPg eiSn i eiSgSg iSgSgSg	15 44 40 44 51 45 01 45 06 45 10 45 48 46 13 46 32 46 42	720	Z: Spuren N E: schwach BCIS: 41.7°N, 16.0°E, Monte Gargant, beim Golf von Manfredonia, Italien H = 15 42 58
17.6.	eiPg i iSg i!L	17 45 54.5 C 45 57 46 07 46 09	95	BCIS: 48.4°N, 17.5°E, Kleine Karpaten, Tschechoslowakei H = 17 45 41

Datum	Phase	G.M.T.	D (km)	Bemerkungen
17.6.	ePn iSn eiSg iSgSg	20 23 35 24 46 25 28 25 32	700	N'E'Z': schwach NE Z: - BCIS: 46.4°N, 7.4°E, Wallis, Schweiz H = 20 22 02
18.6.	ez'P	05 32 26		BCIS: im Südwesten von Anatolien
18.6.	eiPg iz' eiSgSg iz'	09 57 24.0 57 29 58 01 58 03	270	NE Z: nicht registriert BCIS: 45.8°N, 16.0°E, bei Agram, Jugoslawien H = 09 56 37
18.6.	(ei)Pg i iSg iL	21 47(59) 48 04 48 12 48 14	95	N'E'Z': Pg in Minutenlücke E Z: Spuren BCIS: Kleine Karpaten, Nachbeben H = 21 47 45
19.6.	eiPg iSg iL	00 23 14.6 23 27 23 29	95	BCIS: Kleine Karpaten, Nachbeben H = 00 23 00
19.6.	eiP eipP	14 41 53.0 42 03		Z': schwach N': Spuren NE E'Z': - USCGS: Rotes Meer
19.6.	eiP eisP e M	17 19 50.0 C 20 04 30 06 18 05	8750	USCGS: 52.7°N, 166.9°W, Aleuten H = 17 07 45.4 N: 16 ^S , E: 15 ^S
20.6.	eP	07 50 53		NE Z: - USCGS: Aleuten
21.6.	iz'P	07 03 16.0 D		USCGS: Grenze Peru-Ecuador
21.6.	ez'P	15 58 31		N'E': Spuren USCGS: Philippinen
21.6.	eiz'P	18 15 40.7 C		N'E': Spuren NE Z: -
21.6.	eiz'P e ei	18 23 58.2 D 24 14 26 48		N'Z': schwach E': Spuren NE Z: -
21.6.	eiz'P	18 35 38.8 C		
21.6.	ePKP2 i	19 29 26 29 38		N'E'Z': schwach NE Z: - USCGS: südlich der Fidschi-Inseln
21.6.	ez'PP	20 28 13		USCGS: bei der Küste von Nord-Chile
22.6.	ez'	07 28 35		
23.6.	iPKP iPKP2	00 45 08.5 D 45 12.5		NE Z: nicht registriert USCGS: Gebiet der Samoa-Inseln
23.6.	eiPKP	01 01 51.8		nur in N'Z' USCGS: Samoa-Inseln

Datum	Phase	G.M.T.	D (km)	B e m e r k u n g e n
23.6.	eiP	05 23 29 C		nur in N'Z'
23.6.	ez'P i	10 10 21 10 28		N'E'Z': schwach N E Z: - BCIS: Türkei
23.6.	eiP i	14 57 20.7 D 57 30		schwach, nur in N'Z'
23.6.	ez'P	21 49 40		schwach
24.6.	ei(PKP) ei	13 47 21.0 C 47 31		schwach, nur in N'Z'
24.6.	eiz'P	21 14 21.7 C		schwach
24.6.	ez'P	21 17 01		N'E': Spuren N E Z: -
25.6.	ez'P	21 40 13		USCGS: bei Ostküste von Honshu, Japan
25.6.	Spuren	23 32.0		nur in N'Z' USCGS: südlich der Marianen
28.6.	eiP	01 22 02.0 C		N E Z: - USCGS: Kurilen
28.6.	eiPKP isPKP	05 53 41.3 D 53 55		N E E': Spuren Z: Minutenlücke
28.6.	eP ei	14 54 02 54 47		schwach, nur in N'Z'
29.6.	eiP ePP	03 04 32.5 C 06 04		N'E'Z': schwach N E Z: - BCIS: Kasakstan, USSR.
29.6.	iZ'P ez'PP	08 27 27.2 27 47		Z': schwach N'E': Spuren N E Z: - BCIS: Transkaukasien, USSR.
29.6.	e(P) ei	09 45 29 45 40		schwach, nur in N'Z'
29.6.	Spuren i ei	13 03.0 03 08 03 10		N'E'Z': schwach N E Z: -
29.6.	ez' eiz'	16 54 35 55 15		N'E': Spuren N E Z: -
30.6.	iSn iSg	14 06 38 06 58		nur N'E' Z': Ausfall d. Registrierung Sprengung in Eschenlohe, Süd-Bayern

W i e n, 5. September 1967

J. Drimmel
A. Führinger
E. Trapp

27 NOV 1967

SEISMISCHE AUFZEICHNUNGEN in WIEN

Wien- Hohe Warte $\psi = 48^{\circ}14.9'N$
 $\lambda = 16^{\circ}21.7'E$

Höhe über dem Meer = 198 m
 Untergrund: Löß, darunter Lehm

Instrumente: Horizontalseismograph WIECHERT, 1000 kg (N,E)
 Vertikalseismograph WIECHERT, 1300 kg (Z)
 Nahbebenpendel nach CONRAD, 24 kg (Co)

Wien- Kobenzl $\psi = 48^{\circ}15.9'N$
 $\lambda = 16^{\circ}19.1'E$

Höhe über dem Meer = 400 m
 Untergrund: Sandstein

Instrumente: 3 Nahbebenpendel "STUTTGARTER SATZ" (N',E',Z')

VIE

Phase data indicated

- J u l i 1 9 6 7 -

Datum	Phase	G.M.T.	D (km)	B e m e r k u n g e n
-------	-------	--------	--------	-----------------------

Anmerkung: Ausfall der Z'- Komponente bis 3.Juli 10^h30^m wegen rückläufiger Registrierung

1.7.	ePn eiPb eiPg eiSn i i eiSg	02 56 41 56 54 57 02 57 33 57 39 57 46 58 04	525	N E Z: Spuren BCIS: 43.9°N, 19.2°E, Jugoslawien östlich von Sarajewo H = 02 55 30
1.7.	e(P) ei	07 41 33 42 13		schwach, nur in N'E' USCGS: Süd-Sumatra
1.7.	eN'	08 40 33		BCIS: Schwaben, Deutsche Bundesrepublik
1.7.	e ei	20 46 02 46 17		schwach, nur in N'E'
1.7.	eP eiPcP eS eiSS M	23 22 02 22 13 31 52 37 02 24 03.4	8550	USCGS: 54.4°N, 158.0°W südlich von Alaska H = 23 10 07.2 E: 17 ^s , 20 μ
2.7.	e eiPb eiPgPg eiSn i ei ei	00 32 51 33 01 33 12 33 40 33 43 33 46 34 20		nur in N'E' BCIS: Nachbeben in Jugoslawien H = 00 31 37

Datum	Phase	G.M.T.	D (km)	B e m e r k u n g e n
2.7.	ePn	01 15 17	525	N E Z: Spuren BCIS: Nachbeben in Jugoslawien H = 01 14 06
	ePb	15 30		
	iPg	15 38		
	i	15 43		
	iSn	16 09		
	i	16 14		
2.7.	i	01 19 03.0		BCIS: Nachbeben in Jugoslawien H = 01 17 13
	i	19 22		
	ei	19 36		
	ei	19 57		
2.7.	ePb	07 11 30		nur in N'E' BCIS: Nachbeben in Jugoslawien H = 07 10 06
	ePgPg	11 40		
	ei	12 50		
2.7.	iP	07 15 35.8		USCGS: Nikobaren
	iPcP	15 49		
2.7.	e(P)N'	07 50 51		USCGS: Ostküste von Honshu, Japan
2.7.	eN'	16 29 29		USCGS: südlich von Honshu, Japan
2.7.	ePN'	20 46 34		schwach USCGS: Kyushu, Japan
3.7.	eiPn	02 54 56.5	500	N E: Beginn schwach und undeutlich BCIS: 44.0°N, 19.0°E, Jugoslawien nordöstlich von Sarajewo H = 02 53 48
	iPb	55 05		
	iPg	55 16		
	iPgPg	55 19		
	iZZ'	55 21		
	i	55 35		
	eiSn	55 49		
	i!	55 54		
	iSb	56 02		
	iSg	56 16		
	iSgSg	56 20		
	3.7.	eP		
4.7.	e	02 39 33	(370)	N'E'Z': schwach N E Z: - TRIESTE: D = 110 km ca
	ePg	39 41		
	eiSg	40 25		
	i	40 40		
4.7.	iP	23 53 52,5 C		N E Z: Spuren USCGS: Hokkaido, Japan
	ipP	54 33		
	isP	54 50		
5.7.	ePn	00 56 05		N E E': nur M-Phase Z: M-Spuren BCIS: Ionisches Meer N E: 9 ^s N'E'Z': 8s
	ePgPg	57 24		
	M	01 01.8		
	M	02.5		

Datum	Phase	G.M.T.	D (km)	Bemerkungen
5.7.	eiZ'	16 52 29.0		schwach BCIS: Ionisches Meer
6.7.	ePZ'	05 17 14		schwach USCGS: Zentral-Alaska
6.7.	eiZ' M	08 24 54.8 31.0		schwach BCIS: Ionisches Meer Z': 8 ^S
6.7.	e? i i	12 02 50 03 38 03 51		N'Z': schwach E': Spuren N E Z: -
6.7.	iP ipP i(PcP) i	13 54 31.0 C 54 37 54 44 55 15		N E: auch M-Spuren USCGS: Aleuten
6.7.	e(P)Z'	18 43 13		USCGS: Inseln über dem Winde
6.7.	eP	19 06 52		mur in N'Z' USCGS: Golf von Aden
6.7.	eiP iZ' eiPP	19 30 00.0 C 30 03 32 17		E: Spuren USCGS: Mittelatlantischer Rücken
6.7.	i	23 27 55		mur in N'Z' USCGS: Kyushu, Japan
7.7.	ePZ'	01 18 12		schwach USCGS: Golf von Aden
7. Juli 8h bis 11. Juli 7h: Z' - Komponente registriert rückläufig				
8.7.	eiPKP eipPKP	01 18 08.0 C 18 39		USCGS: Neue Hebriden
8.7.	ei(Pg) e(Sn)	09 54 40.2 55 08	(420)	mur in N'E' TRIESTE: D = 250 km ca
9.7.	ei ei(Sb) i(Sg)	19 22 14 22 43 22 49		mur in N'E' TRIESTE: D = 200 km ca
10.7.	iPKPN'	06 48 16.0		schwach USCGS: Fidschi-Inseln
11.7.	Spuren	04 36.0		mur in N' USCGS: Salomon-Inseln
11.7.	eiPn iPb iPg iPgPg iSn eiSb iSg iSgSg iSgSgSg	12 42 17.3 D 42 25 42 32 42 35 43 02 43 12 43 23 43 28 43 37	420	BCIS: 44.5°N, 17.3°E Bosnien, Jugoslawien H = 12 41 19

Datum	Phase	G.M.T.	D (km)	Bemerkungen
11.7.	e e i	13 33 52 34 06 34 12		N'E'Z': schwach N E Z: - Nahbeben
12.7.	eP ipP	21 13 29 13 37		mur in N'Z' USCGS: südlich von Panama
12.7.	ePKP eiPKP	21 34 26 34 36		N'E': Spuren N E Z: - USCGS: Fidschi-Inseln
13.7.	ePZ' e	02 14 25 14 29		N E Z: Spuren BCIS: West-Algerien
13.7.	e i	02 34 15 35 06		N'E': Spuren N E Z: - KRAKÓW: Oberschlesien
13.7.	iPKP iZ'	07 55 39.7 C 55 43		E': Spuren N E Z: - USCGS: Fidschi-Inseln
13.7.	eiPKP ipPKP i	10 23 50.5 C 24 03 24 20		N E : Spuren USCGS: Neue Hebriden
13.7.	iPb iPgPg i eSn ei eiSgSg i iL	14 41 04.7 41 27 41 44 42 13 42 37 43 13 43 35 43 43	870	Beginn durch Mikroseismen gestört BCIS: 40.6°N, 19.5°E, Albanien H = 14 38 52
13.7.	e i	17 01 16 01 21		schwach, nur in N'Z'
13.7.	e i e (iSg)	20 06 10 06 26 06 51 07(00)		N E Z: nicht registriert Sprengung ? Minutenlücke
13.7.	ei(Pg) i(Sg)	22 08 30.0 C 09 12	(350)	N E Z: nicht registriert TRIESTE: D = 75 km ca
14.7.	ePZ'	03 18 09		schwach USCGS: Rotes Meer
14. Juli 8 ^h bis 17. Juli 14 ^h : Ausfall der Z' - Komponente (Austausch des Antriebsmotors)				
15.7.	eSn eSb iSgSg	02 25 29 25 44 26 04	560	vorher Spuren in N' N E Z: - BCIS: 46.8°N, 8.8°E, West-Schweiz H = 02 23 12
15.7.	eP	03 34 33		N E Z: - BCIS: Kasakstan, USSR.

Datum	Phase	G.M.T.	D (km)	Bemerkungen
16.7.	e(PKP) e(PP)	13 53 05 53 22		schwach, nur in N'E' USCGS: West-Neuguinea
16.7.	e i(Sb) iSgSg iSgSgSg i!LN'	14 06 40 07 49 08 12 08 21 08 23	800	Beginn schwach, störende Mikroseismen BCIS: 47.3°N, 5.4°E Côte d'Or, Frankreich H = 14 04 11
16.7.	ePn e ei(PgPg) eiSn eiSg eiSgSg	19 02 51 03 06 03 14 03 43 04 07 04 11	480	schwach, nur in N'E' BCIS: 44.0°N, 17.0°E Bosnien, Jugoslawien H = 19 01 49
19.7.	eP M	09 09 31 14.5		nur in N'Z' BCIS: Südwest-Anatolien
19.7.	eiPKP eiPKP2	13 00 20.0 C 00 29		nur in N'Z' USCGS: Fidschi-Inseln
20.7.	ePZ'	14 38 19		schwach USCGS: Aleuten
20.7.	eP eiPP M	15 50 19 54 37 16 39		N E Z: schwach, Beginn Spuren USCGS: westliche Karolinen N: 17s
20.7.	ePn iPb (i)Pg iSn i i iSg i	16 20 48 20 54 21(00) 21 23 21 28 21 38 21 40 21 49	330	N E Z: Beginn Spuren BCIS: 45 1/2°N, 14 1/4°E Istrien, Jugoslawien H = 16 20 02
20.7.	eZ' ePb ePgPg ei eiSn eiSb M	19 05 34 05 41 06 03 06 43 06 48 07 18 08.8	870	N Z: Spuren E: nur M-Phase BCIS: 40.7°N, 19.7°E, Albanien H = 19 03 28 E: 12s
20.7.	eiPKP2Z'	23 32 05.5		USCGS: südlich der Fidschi-Inseln
21.7.	ePKP2 ei	13 05 30 05 42		schwach, nur in Z' USCGS: Fidschi-Inseln
22.7.	ePKP ePKP2	04 17 03 17 44		nur in Z' USCGS: südlich der Kermadec-Inseln

Datum	Phase	G.M.T.	D (km)	Bemerkungen
22.7.	iPn ei iSgSg	11 01 34.0 03 54 04 37		N'E'Z': schwach NEZ: - BCIS: Straße von Calais, Sprengung
22.7.	iPn i iPgPg i iSn i i!SgSg i!L M	16 59 58.5 DSE 1420 17 00 07 01 01 02 19 02 30 02 32 04 03 04 34 05		BCIS: 40.7°N, 30.8°E Nordwest-Anatolien H = 16 56 52 M = 7 E(Co): 3.5 ^s , 570 _μ ca; Z: 4.3 ^s , 210 _μ
22.7.	ePn	17 51 10		NEZ: - BCIS: Anatolien, Nachbeben
22.7.	eiPnZ' e	18 13 02.0 D 13 08		N'E'Z': schwach NEZ: - BCIS: Anatolien, Nachbeben
22.7.	Spuren	23 45.1		nur in Z' BCIS: Anatolien
23.7.	ePKP	03 28 11		nur in N'Z' USCGS: Neue Hebriden
23.7.	ei	19 03 57		schwach, nur in N'Z'
25.7.	iPn ePb iPg eSn iSb iSg i	11 23 33.5 C 23 37 23 42 24 05 24 09 24 15 24 25	300	N-E Z: nicht registriert BCIS: 45.6°N, 14.5°E, Jugoslawien, nördlich von Rijeka H = 11 22 47
26.7.	eiPKP ipPKP	08 34 35.0 34 46		E': Spuren NEZ: - USCGS: Loyalty-Inseln
26.7.	ePnZ'	09 19 09		schwach BCIS: Anatolien, Nachbeben
26.7.	iP izz' i!PP iPPP i iS esS i!SS i iSSS M	18 57 26.5 D 57 41 57 44 57 54 58 04 19 00 51 01 05 01 14 01 23 01 26 07	2150	BCIS: 39.5°N, 40.3°E, Türkei Ost-Anatolien H = 18 52 55 N: 9 ^s , 16 _μ ; E: 11 ^s , 45 _μ
27.7.	eP	05 23 21		NEZ: - BCIS: Südwestküste Islands
28.7.	ePKP	05 36 08		nur in N'Z' USCGS: Loyalty-Inseln

Datum	Phase	G.M.T.	D (km)	Bemerkungen
28.7.	iPKP iPKP2	14 44 39.0 44 48		N'E'Z': schwach N E Z: - USCGS: Fidschi-Inseln
28.7.	Spuren ei(Sb) i(SgSg) i	15 07.6 07 55 08 10 08 12		N E Z: nicht registriert BCIS: 21 t - Sprengung in Bransrode, Hessen, Deutsche Bundesrepublik
28.7.	ePZ'	15 40 26		schwach, BCIS: Südwest-Inland
28.7.	eP iPcP	17 39 55 39 59		N'E'Z': schwach N E Z: - USCGS: Nord-Sumatra
29.7.	iP ipP i (i)PP ipPP eS isS ePKKP ei eiPKPPKP	10 36 41.8 0 37 22 38 04 40 03 40 40 46 56 48 04 54 53 55 31 11 02 56	9450	USCGS: 6.8°N, 73.0°W Nord-Kolumbien h = 161 H = 10 24 24.6
30.7.	eiP iPcP i eS	00 11 58.7 0 12 07 12 19 21 55	8650	USCGS: 10.6°N, 67.3°W nahe der Küste von Venezuela H = 23 59 58.7
30.7.	(i)Pn iPgPg iSn i iSgSg iLL M M	01 34 03 35 06 36 35 37 36 38 07 38 36 38.7 40.7	1420	N'E'Z': Pn in Minutenlücke BCIS: 40.7°N, 30.8°E Nordwest-Anatolien, Nachbeben H = 01 30 59 N: 5 ^s , 24 _μ E: 9 ^s , 33 _μ
30.7.	eiPKP ePKP2	11 09 23.0 D 09 35		N'E'Z': schwach N E Z: - USCGS: westlich d. Macquarie-Inseln
30.7.	ePKPZ'	13 54 09		schwach USCGS: ?Neu-Irland
30.7.	iPKP	17 43 25.0 0		N E Z: - USCGS: Fidschi-Inseln

W i e n , 20. Oktober 1967

J. Drimmel
A. Pühringer
E. Trapp



1169
669

Zentralanstalt für Meteorologie und Geodynamik in Wien

28 DEC 1967

SEISMISCHE AUFZEICHNUNGEN in WIEN

Wien- Hohe Warte $\psi = 48^{\circ}14.9'N$ Höhe über dem Meer = 198 m
 $\lambda = 16^{\circ}21.7'E$ Untergrund: Löß, darunter Lehm

Instrumente: Horizontalseismograph WIECHERT, 1000 kg (N,E)
Vertikalseismograph WIECHERT, 1300 kg (Z)
Nahbebenpendel nach CONRAD, 24 kg (Co)

Wien- Kobenzl $\psi = 48^{\circ}15.9'N$ Höhe über dem Meer = 400 m
 $\lambda = 16^{\circ}19.1'E$ Untergrund: Sandstein

Instrumente: 3 Nahbebenpendel "STUTTGARTER SATZ" (N',E',Z')

- A u g u s t 1 9 6 7 -

Datum	Phase	G.M.T.	D (km)	B e m e r k u n g e n
Anmerkung: Ab 10. August Beginn des provisorischen Registrierbetriebes mit einem langperiodischen Vertikalseismometer SPRENGNETHER (Z*) am Observatorium Wien-Hohe Warte				
1.8.	ePKP2Z'	09 26 08		USCGS: südlich von Neuseeland
1.8.	eiP	17 00 02.0		N E Z: - BCIS: Ostküste des Kaspisees
2.8.	eiP iPcP	00 56 24.7 D 56 35		N'E'Z': schwach N E Z: - USCGS: Kurilen
2.8.	eP ei(sP) iPP eSSS M	11 12 06 12 18 12 44 17 50 23	2800	BCIS: 70.8°N, 7.3°W bei Insel Jan Mayen H = 11 06 38
2.8.	iP ipP isP iPP iSS M	14 11 47.5 11 55 11 59 12 23 17 28 22	2800	BCIS: 70.8°N, 7.3°W bei Insel Jan Mayen H = 14 06 18
2.8.	eiP	18 30 31.0		nur in N'Z' USCGS: Süd-Sumatra
3.8.	ePKP2	00 28 06		nur in Z' USCGS: Tonga-Inseln
3.8.	e eiSb eiSg	08 01 25 01 28 01 38		schwach, nur in Z' MOXA: Sprengung in Sachsen, DDR.

Datum	Phase	G.M.T.	D (km)	Bemerkungen
3.8.	iPg iSg i ei	18 16 05.0 D 16 14 16 20 16 23	70	N'E'Z': schwach NE Z: - Epizentrum: 47.7°N, 16.0°E, Lokalbeben Pottschach, Niederösterreich I ₀ = 4°MS H(WIEN) = 18 15 52
4.8.	eP	07 05 34		nur in N'Z' BCIS: Kasakstan, USSR.
4.8.	eiPn i iPb i iPgPg iSn i iSb iSg i!SgSg i iSgSgSg M	14 55 55.5 D 56 04 56 07 56 14 56 23 56 56 57 09 57 13 57 32 57 37 57 41 57 47 58.3	610	BCIS: 42.8°N, 17.7°E Küste Dalmatiens, Jugoslawien H = 14 54 32 E: 10 ^s , 5μ
4.8.	ePKP epPKP i	22 54 24 54 33 54 49		schwach, nur in N'Z' USCGS: Tonga-Inseln
5.8.	e e i	13 08 42 09 11 09 21		N'E'Z': schwach NE Z: -
9.8.	ei i i e i	08 00 43 00 47 00 51 01 10 01 21		E: nur Spuren Nahbeben
10.8.	eiP	11 33 21.0 C		NE Z: - USCGS: Kurilen
11.8.	ei(P)Z'	09 10 16.0 D		
11.8.	ei iSg	11 14 46 14 50		N'E'Z': schwach NE Z: -
12.8.	iPKP i!PKP2 ipPKP ipPKP2 eiPKS eiPP i iPPP e(SKKS)	09 59 21.0 C 59 45 10 00 00 00 22 02 56 03 14 04 10 06 46 09 58	16950	USCGS: 24.7°S, 177.5°W südlich der Fidschi-Inseln h = 134 km H = 09 39 44.3
12.8.	ePKPZ'	12 50 21		N': Spuren USCGS: Neue Hebriden

Datum	Phase	G.M.T.	D (km)	B e m e r k u n g e n
12.8.	e(P) (M)	17 02 54 08 32		N E Z: - USCGS: Türkei
13.8.	iP ipP iPP i(pPP) eS i	20 18 26.7 C 19 50 21 37 22 50 28 03 28 07	8800	USCGS: 35.3°N, 135.3°E Süd-Honshu, Japan h = 357 km H = 20 06 50.6
13.8.	ePn i iSn i i i i!SgSgSg M M	22 10 53 10 59 13 16 13 23 14 33 14 45 15 00 16 17	1420	BCIS: 43°5'N, 0°45'W westliche Pyrenäen, Frankreich H = 22 07 50 N: 7 ^s , 30 μ ; Z: 2.3 ^s , 10 μ E: 6 ^s , 28 μ
13.8.	ePZ'	23 54 21		schwach USCGS: Atlantik bei Ascension
14.8.	iPn i(Pb) iPgPg i ei iSn i iSg M	10 17 24.3 C 17 37 17 44 18 07 18 11 18 16 18 21 18 35 19 00	470	BCIS: 46.9°N, 10.3°E, Grenze Schweiz-Italien-Österreich H = 10 16 21 N: 5 ^s , 19 μ ; E: 5 ^s , 10 μ
15.8.	ePn i	04 38 42 38 57		schwach, nur in N'Z' ATHENS: Ionisches Meer
15.8.	ePn iSgSg	07 08 52 11 44		N E Z: nicht registriert BCIS: Tyrrhenisches Meer
15.8.	eP eiPP	09 31 02 D 33 19		N E Z: nicht registriert USCGS: Tibet
15.8.	eiPN'Z'	15 47 27.8 C		USCGS: Grenze USSR.-Nordost-China
16.8.	eiPg ei eiSn ei iSg i	00 04 23.7 D 04 29 04 48 04 56 05 00 05 02	300	schwach TRIESTE: D = 90 km ca
16.8.	eiP ei ei	19 31 29.5 D 31 49 41 57		N E Z: nicht registriert USCGS: Nord-Sumatra

Datum	Phase	G.M.T.	D (km)	B e m e r k u n g e n
18.8.	iPg eiSn ei eiSg	12 04 08.2 D 04 41 04 55 05 02	470	N E Z: - BCIS: 46.8°N, 10.5°E Grenze Österreich-Italien-Schweiz H = 12 02 45 in Martinsbruck, Tirol: I = 4.5°MS
19.8.	iP iPP iPPP M	15 41 26.0 C 45 18 47 23 16 31.5	10500	USCGS: 10.4°N, 126.0°E, Philippinen H = 15 28 08.5 Z*: 17 ^S
19.8.	eiPKP eiPP eiPKS	16 01 07.0 C 03 49 04 34		N E E': nicht registriert USCGS: Santa-Cruz-Inseln
20.8.	eiP eiPP eiS M	02 10 06.3 D 11 50 16 31 28.5	4800	USCGS: 45.3°N, 80.1°E, Grenze Kasakstan, USSR.- Sinkiang, China H = 02 02 05.2
20.8.	ePn eSgSg	10 07 32 09 32	(720)	schwach, nur in N'E'Z' TRIESTE: D = 370 km ca
20.8.	eSgSg	14 57 27		nur in N'E'Z' TRIESTE: D = 380 km ca
21.8.	iP ipP eiPcP isP iPP i!S eisS eiLR M	07 45 10.0 C 45 19 45 21 45 24 48 09 55 13 55 33 08 09 25 28.0	8850	USCGS: 3.6°N, 95.8°E bei Nordwestküste von Sumatra H = 07 33 00.6 Z'Z*: 16 ^S
21.8.	eiPn i	13 44 28.5 C 44 37		schwach, nur in N'E'Z' BCIS: 57.0°N, 5.0°E, Nordsee südwestlich von Norwegen H = 13 41 49
22.8.	eiP eiPKP i!PP ePS ei M	13 16 54 D 20 38 21 39 31 16 39 18 14 06.5	12700	USCGS: 60.8°S, 24.6°W Gebiet der Süd-Sandwich-Inseln Z*: 17 ^S N E: M-Spuren
23.8.	iSb iSg	14 01 19.0 01 26		schwach, 'nur' in N'E'Z' PRUHONICE: Sprengung
24.8.	eiP ei(sP)	03 33 16.2 C 33 42		schwach, nur in N'Z' USCGS: Kurilen
24.8.	e(FKP) ei eiPP	10 52 18 54 37 55 07		N E E'Z: nicht registriert USCGS: Neue Hebriden

Datum	Phase	- G.M.T.	D (km)	Bemerkungen
24.8.	iPg iSg i!N'	12 30 37.5 C 30 57 30 58.5	165	Sprengung ? PRUHONICE: D = 166 km
25.8.	ePZ'	15 15 28		schwach USCGS: Aleuten
26.8.	iP iPP iPPS e(SSS) M	00 50 36.2 D 54 49 01 04 35 13 59 37	11400	NE: schwach Z: Spuren USCGS: 12.2°N, 140.7°E westliche Karolinen H = 00 36 42.1 Z*: 13 ^s
26.8.	e?Z'	02 24 20		
26.8.	eP	14 21 28		nur in N'Z' USCGS: Anatolien, Türkei
26.8.	eiPKP ipPKP	18 39 39.0 39 50		USCGS: Gebiet der Samoa-Inseln
27.8.	eiP eipP e(PP) eiS	13 21 30.8 C 22 16 25 05 32 10	9800	NEE' Z: nicht registriert USCGS: 12.3°N, 86.2°W, Nicaragua h = 183 km H = 13 08 55.9
27.8.	eSn eiSg	21 28 10 28 48		schwach, nur in N'E'Z' BCIS: Wallis, Schweiz
28.8.	ePZ'	15 37 49		USCGS: Gebiet der Vancouver-Insel
28.8.	e? ei	17 40 04 40 11		nur in Z' USCGS: Dodekanes
28.8.	eiP eiPP eiS M	21 20 47.0 C 21 20 25 13 33.5	2700	NZ: schwach E: Spuren BCIS: 31.3°N, 6.3°W, Marokko H = 21 15 29 Z*: 9 ^s
29.8.	Spuren ei i ei	07 45.8 46 20 46 25 46 51		nur in Z' Z*
30.8.	eiP ei! iPcP ei iPP iS iSS iSSS M	04 32 34.3 D 32 37 33 16 34 41 35 01 41 14 45 24 48 27 58	7050	USCGS: 31.7°N, 100.3°E Szechwan, China H = 04 22 01.5 N: 10.5 ^s , 18 μ ; E: 8.5 ^s , 14 μ
30.8.	eiP	11 19 19.7 C		nur in Z'Z* USCGS: Szechwan, China

Datum	Phase	-- G.M.T.	D (km)	Bemerkungen
30.8.	ePKP	12 15 30		schwach, nur in Z'
	eiPKP2	16 06		USCGS: Gebiet der Kermadec-Inseln
30.8.	iP	13 45 28.0 C		NEZ: nicht registriert
	iPcP	45 37		USCGS: Kurilen
	M	14 28.4		Z*: 16 ^s
31.8.	ePKP	19 12 36		NE : Spuren Z: Minutenlücke
	iPKP2	12 39		USCGS: Tonga-Inseln

W i e n , 23. November 1967

J. Drimmel
A. Pühringer
E. Trapp

P.W. 669

Zentralanstalt für Meteorologie und Geodynamik in Wien

SEISMISCHE AUFZEICHNUNGEN in WIEN

Wien-Hohe Warte $\varphi = 48^{\circ}14.9'N$ Höhe über dem Meer = 198 m
 $\lambda = 16^{\circ}21.7'E$ Untergrund: Löß, darunter Lehm

Instrumente: Horizontalseismograph WIECHERT, 1000 kg (N,E)
 Vertikalseismograph WIECHERT, 1300 kg (Z)
 Nahbebenpendel nach CONRAD, 24 kg (Co)
 langperiod. Vertikalseismograph SPRENGNETHER (Z*)

Wien-Kobenzl $\varphi = 48^{\circ}15.9'N$ Höhe über dem Meer = 400 m
 $\lambda = 16^{\circ}19.1'E$ Untergrund: Sandstein

Instrumente: 3 Nahbebenpendel STUTTGARTER SATZ (N',E',Z')

- S e p t e m b e r 1 9 6 7 -

Datum	Phase	G.M.T.	D (km)	B e m e r k u n g e n
-------	-------	--------	--------	-----------------------

Pendelkonstanten am 22. September 1967

	Komp.	V	T_0	$\xi:1$	r/T_0^2
WIECHERT-Horizontal 1000 kg	NS	170	9.0 ^s	4.5	0.003
	EW	160	9.6	4.5	0.003
WIECHERT-Vertikal 1300 kg	Z	205	2.25	3.6	0.012

Anmerkung: Ab 10. August provisorischer Registrierbetrieb mit dem langperiodischen Vertikalseismographen SPRENGNETHER am Observatorium Wien-Hohe Warte

1.9.	eiP	22 53 45.7		N E Z: - USCGS: Kurilen
2.9.	eP	03 51 50		schwach, nur in N'Z'
	e	51 55		BCIS: bei Insel Jan Mayen
3.9.	eiP	21 21 22.5 C	11400	USCGS: 10.6°S, 79.8°W
	i	24 56		bei der Küste von Peru
	iPP	25 35		H = 21 07 30.8
	eSKS	31 59		
	eSKS	32 50		
	eS	33 01		
	iPKPPKP	45 48		
	M	22 05		E: 21 ^s , 28 μ ; Z*: 20 ^s
	M	07		N: 17 ^s , 9 μ
4.9.	eiPKP	04 11 30		USCGS: Kermadec-Inseln
	iPKP2	12 10		
	eipPKP2	13 06		
5.9.	iPn	11 37 50.7 D	320	BCIS: 45.7°N, 14.2°E, Jugoslawien
	i	37 57		bei Ilirska Bistrica
	iPg	37 59		H = 11 37 04
	iPgPg	38 02		
	i	38 25		

Datum	Phase	G.M.T.	D (km)	Bemerkungen
zu 5.9.	iSn iSb iSg i	11 38 27 38 30 38 37 38 40		
5.9.	eiPn eiPg iSn iSg i	15 19 03.2 19 11 19 39 19 50 19 52	320	N' E E' Z': schwach N:Spuren Z Z':- BCIS: Nachbeben H = 15 18 16
5.9.	eiPn iPg iSn iSg i	15 21 47.5 D 21 56 22 24 22 34 22 37	320	BCIS: Nachbeben H = 15 21 01
6.9.	eP M	05 02 42 09		schwach, in N Z nicht registriert BCIS: Mittelmeer, westlich Kreta
6.9.	eiP ipP iPoP	07 41 25.0 D 41 37 41 47		N: Spuren E: - USCGS: bei den Andamanen
6.9.	ePZ'	17 36 46		schwach USCGS: Aleuten
7.9.	ePPZ' ei iSKS	07 30.1 31 26 36 03		schwach, nur SKS allgemein registriert USCGS: Celebes-See
7.9.	e(Pn)	14 11 38		schwach, nur in N'Z' BCIS:Sizilien
8.9.	ePn e iPb iPgPg iPgPgPg eiSn i iSb iSg i M	02 06 40 06 47 07 04 07 21 07 24 08 06 08 17 08 37 09 04 09 31 .10.1	860	BCIS: 40.9°N, 20.2°E, Albanien H = 02 04 46 Z: 2 ^S ; Z*: 5 ^S
8.9.	ePnZ' eZ* M	09 54 05 56 44 59.9		Z'Z*: schwach N'E':Spuren N E Z: - BCIS: West-Griechenland Z*: 7.5 ^S
8.9.	iPg i iSg i i	12 41 51.0 C 41 55 42 00 42 07 42 20	75	BRATISLAVA: Sprengung in der Slowakei, ČSSR.

-Datum	Phase	G.M.T.	D (km)	B e m e r k u n g e n
8.9.	eiP iPP ei(PPS) M	22 51 34.5 D 55 47 23 05 54 41.8		N'Z'Z*: schwach N E E'Z: - USCGS: westliche Karolinen Z*: 17 ^s
9.9.	e ei ei	16 34 05 34 18 34 26		N'E'Z': schwach Z:Spuren N E Z*: -
9.9.	ePKP eiPKP2 iPP M	17 12 03 12 52 16 42 24.8		N'E': zu Beginn nur Spuren N E Z: - USCGS: Süd-Pazifik Z*: 19 ^s
9.9.	eiP iPP ipPP i	10 19 45.0 D 24 05 26 00 36 49	11500	USCGS: 27.7°S, 63.1°W, Argentinien Santiago del Estero h = 578 km H = 10 06 44.1
9.9.	ePPZ*	15 02 08		USCGS: westliche Karolinen
11.9.	iPKP iPKP2	04 56 55 C 56 58		schwach, in N E nicht registriert USCGS: bei den Loyalty-Inseln
11.9.	Spuren	07 12.0		nur in Z'Z* USCGS: Neue Hebriden
12.9.	eP eiPcP	00 35 06.5 35 25		schwach, nur in N'Z' USCGS: südatlantischer Rücken
12.9.	eiP	02 55 36.5 C		N E Z: - USCGS: Kurilen
12.9.	Spuren eiZ* iZ*	14 49.0 52 33 53 08		N'E'Z':Spuren N E Z: - BCIS: West-Griechenland
12.9.	ei(PP) M	22 10 38 23 02.6		nur in Z* USCGS: Neu-Britannien
13.9.	iP	18 53 09.5 C		N E: - USCGS: Aleuten
14.9.	eSgSgSg	20 24 35		N E Z Z*: - BCIS: Wallis, Schweiz
15.9.	eiPZ* M	00 41 00.0 C 01 22.6		N E Z: - USCGS: Ostküste von Honshu Z*: 12 ^s
15.9.	e(P) e ei	00 48 06 48 11 48 38		schwach, nur in N'E'Z'
15.9.	iP ipP isP iPcP iPP M	10 42 56.2 C 43 12 43 19 43 38 45 10 11 13.0	6800	Z: Spuren N E: nicht registriert USCGS: 27.4°N, 91.8°E, Bhutan h = 57 km H = 10 32 48.7 Z*: 12 ^s ca

Datum	Phase	G.M.T.	D (km)	Bemerkungen
16.9.	eiPZ'	04 11 31.0 C		schwach BCIS: Kasakstan, USSR.
16.9.	ePn	06 54 39	390	N'E'Z': schwach N E Z Z*: -
	eiPb	54 45		BCIS: 47.8°N, 11.1°E
	ei	54 48		Oberbayern, BRD.
	iPg	54 51		H = 06 53 42
	ei	55 16		
	eiSn	55 21		
	ei	55 36		
	iSg	55 38		
	iSgSg	55 42		
16.9.	iPg	20 19 56.8 D	77	BCIS: 48.4°N, 17.3°E (nach PRŮHONICE)
	i	20 02		Kleine Karpaten, ČSSR;
	iSg	20 07		H = 20 19 47
	i	20 10		
	i	20 24		
17.9.	eiPZ'	08 09 20.5		schwach USCGS: Mexico
18.9.	Spuren	15 51.9		nur in Z' USCGS: östliches Neuguinea
18.9.	ePKPZ'	19 32 40		schwach USCGS: Fidschi-Inseln
19.9.	iP	11 08 03.5 C	8750	USCGS: 43.0°N, 145.2°E
	i	08 07		Hokkaido, Japan
	ipP	08 28		h = 84 km H = 10 56 08.6
	i(sP)	08 36		
	eiS	17 54		
	eSP	18 32		SP oder sS
	ePPS	18 53		
	eiLR	32 26		
	M	50.0		E: 10 ^s , 4 μ ; Z*: 11 ^s
19.9.	eiP	19 14 25.5 C		N E Z: - USCGS: Süd-Sumatra
20.9.	iPn	06 10 13.5 C	470	BCIS: 44.2°N, 17.7°E
	i	10 16		Bosnien, Jugoslawien
	iPb	10 23		H = 06 09 11
	iPg	10 30		
	i	10 36		
	iSn	11 02		
	iSb	11 12		
	iSg	11 26		
	iSgSg	11 31		
	M	12.0		N: 6 ^s , 3 μ ; E: 7 ^s , 4 μ ; Z*: 7 ^s
20.9.	eiPKP	09 59 09.0	17600	USCGS: 49.8°S, 163.4°E
	ipPKP	59 19		Gebiet der Auckland-Inseln
	eiPKP2	59 49		H = 09 39 15.2
	ipPKP2	59 59		
	iPKS	10 02 44		
	eiPP	03 36		

Datum	Phase	G.M.T.	D (km)	Bemerkungen
20.9.	eiPKP eiPKP2 eiPP	10 50 48.5 C 51 26 55 16		N'E': schwach N E : - USCGS: bei den Auckland Inseln
20.9.	eiPKP isPKP	10 56 43.3. C 57 30		in N E nur Spuren USCGS: Neue Hebriden
20.9.	eiPg i i iSg i i	22 44 24.5 CSW 44 27 44 30 44 33.5 44 36 44 40	75	BCIS: 48.4°N, 17.2°E (nach BRATISLAVA) Kleine Karpaten, ČSSR. H = 22 44 14 im Grenzgebiet und an vereinzelt Stellen im Landesinneren Österreichs wahrgenommen ($I_{MAX} = 4^{\circ} MS$)
22.9.	eiP	08 17 56.0 C		nur in Z'Z* USCGS: Mittelatlantik
22.9.	iP eiPcP ipP eiS M	10 30 00.0 C 30 10 30 15 39 59 11 09	8750	USCGS: 44.5°N, 149.4°E, Kurilen h = 60 km H = 10 17 59.9 N: 17 ^S , Z*: 16.5 ^S
22.9.	eiP eipP	12 46 52.0 47 06		schwach, nur in N'Z' USCGS: Kurilen
23.9.	iPKP iPKP2 epPKP	07 15 30.5 D 15 41 17 50		N E: nicht registriert USCGS: südlich der Fidschi-Inseln
23.9.	eiPKP eiPKP2	07 58 35.0 D 58 45		schwach, nur in N'Z' USCGS: südlich der Fidschi-Inseln
23.9.	i(Sg) eiZ'	09 02 07.5 02 10		schwach, nur in N'E'Z' PRŮHONICE: Sprengung
24.9.	e eiPb eiPgPg ePgPgPg i ei eSgSg eSgSgSg M	22 13 22 13 34 13 53 13 57 14 03 14 13 15 36 15 46 17.0	870	N E: schwach Z: Spuren BCIS: 40.7°N, 19.7°E, Albanien H = 22 11 18
24.9.	ePn ePb eiPg ei iSn ei i iSgSg	22 29 09 29 21 29 30 29 35 30 07 30 31 30 35 30 42	580	N E Z: schwach, nur spätere Einsätze BCIS: 46.0°N, 9.4°E, Norditalien Bergamasker Alpen H = 22 27 48

Datum	Phase	G.M.T.	D (km)	B e m e r k u n g e n
25.9.	eiPn ei eiSn iSg eiSgSg	22 05 29.5 C 06 11 06 14 06 34 06 38	(425)	schwach, nur in N'E'Z' Herd Adriaküste ? TRIESTE: D = 75 km
26.9.	ePn ei(Pb) eiPgPg iPgPgPg eiSn ei eiSg eiSgSg M	05 07 30 07 50 08 04 08 08 08 54 09 08 09 41 09 46 10.9	830	N E: Einsätze ab S-Phase Z: Spuren BCIS: 41.7°N, 21.3°E Mazedonien, Jugoslawien H = 05 05 36 N E Z*: 7 ^s
26.9.	ePKP i iPP eiPS M	16 29 51 30 23 30 43 40 02 17 19	12350	N E: Spuren Z: - USCGS: 30.0°S, 71.5°W nahe der Küste von Mittel-Chile h = 55 km H = 16 11 23.9
26.9.	eiPKP	17 24 50.0		mur in N'E'Z' USCGS: Salomon-Inseln
27.9.	i(PP)Z'	07 28 26.2		schwach BCIS: südöstlich von Kreta
27.9.	eiP	17 12 37.2 C		mur in N'Z'
28.9.	Spuren eiZ* MZ*	03 02.1 18 35 22.7		N'Z': Spuren N E E'Z': - USCGS: bei Alma-Ata, Kasakstan, USSR.
28.9.	iPKP i iPP eiPPS eiPKKS	05 15 54.0 16 01 17 46 29 16 29 32	13800	USCGS: 6.6°S, 153.4°E bei Neu-Britannien H = 04 56 56.3
28.9.	eiFZ' MZ*	15 56 16.5 16 33.6		schwach, in N'E' Spuren USCGS: Golf von Alaska
29.9.	i(Pg) i(Sg) i	08 59 41.3 59 53.5 59 59	(100)	schwach, nur in N'E'Z' PRUHONICE: D = 155 km
29.9.	eiPg eiSg	10 02 52.5 C 03 12		mur in N'E'Z' registriert PRUHONICE: Sprengung
30.9.	eiP M	08 09 42.7 C 50.5		USCGS: Ryukyu-Inseln E: 12 ^s ; Z*: 16 ^s

K. G. S.
L. G. S.

Zentralanstalt für Meteorologie und Geodynamik in Wien

SEISMISCHE AUFZEICHNUNGEN in WIEN

Wien-Hohe Warte $\varphi = 48^{\circ}14.9'N$
 $\lambda = 16^{\circ}21.7'E$

Höhe über dem Meer = 198 m
Untergrund: Löß, darunter Lehm

Instrumente: Horizontalseismograph WIECHERT, 1000 kg (N,E)
Vertikalseismograph WIECHERT, 1300 kg (Z)
Nahbebenpendel nach CONRAD, 24 kg (Co)
langperiod. Vertikalseismograph SPRENGNETHER (Z*)

Wien-Kobenzl $\varphi = 48^{\circ}15.9'N$
 $\lambda = 16^{\circ}19.1'E$

Höhe über dem Meer = 400 m
Untergrund: Sandstein

Instrumente: 3 Nahbebenpendel STUTTGARTER Satz (N',E',Z')

- O k t o b e r 1 9 6 7 -

Datum	Phase	G.M.T.	D (km)	B e m e r k u n g e n
Anmerkung: Ab 6. September gelten für den SPRENGNETHER- Vertikalseismographen die folgenden provisorischen Konstanten: $T_s = 10.0^s$, $D_s = 0.576$, $T_g = 0.95^s$, $D_g = 1.00$, $\epsilon^2 = 0.00028$, $V_{max} = 9200$, $R = 15$ mm/sec				
1.10.	iPn ei eiPgPg eiSn i eSb ei(SgSg)	22 47 03.3 47 12 47 28.5 48 04 48 07 48 21 48 43	585	N'E'Z': schwach N Z Z*: Spuren E: - BCIS: $44.3^{\circ}N$, $11.0^{\circ}E$ Toskanischer Apennin H = 22 45 43
2.10.	eiPKP i iPKP2	00 31 31.8 31 38 31 47		E: nicht registriert USCGS: Gebiet der Fidschi-Inseln
2.10.	ePn eiSn eSgSg	20 14 45 16 05 16 50	750	nur E'Z' brauchbare Einsätze N E: - BCIS: $41 \frac{1}{2}^{\circ}N$, $13 \frac{3}{4}^{\circ}E$ Mittelitalien H = 20 13 03
3.10.	eiP eiPP ePS M	18 29 03.0 C 32 45 41 11 19 06.9	10000	schwach N'E': Spuren N E: - USCGS: $10.9^{\circ}N$, $85.9^{\circ}W$, Costa Rica H = 18 16 03.2 Z*: 16s
3.10.	i(Pg) i(Sg) i	20 03 14.5 C 03 30 03 34		nur in N'E'Z' registriert
4.10.	ei(Pb) iPg eiSb iSg ei	10 30 19.5 30 23 30 53 31 01 31 04	320	Z*: Spuren N E Z: - BCIS: $50.4^{\circ}N$, $18.9^{\circ}E$ Oberschlesien, Polen H = 10 29 29

Datum	Phase	G.M.T.	D (km)	B e m e r k u n g e n
4.10.	ePKP	17 40 15		N E Z: Spuren
	ipPKP	40 25		USCGS: 5.7°S, 153.9°E, Neu-Irland
	i	40 50		h = 52 km H = 17 21 20.7
	iPP	42 02		
	M	18 36.8		Z*: 24 ^s
	W2	19 11.8		Z*: 20 ^s
5.10.	ePn	12 03 24	1200	Z: Spuren
	ei	03 36		BCIS: 37.7°N, 20.7°E
	e	03 44		Ionische Inseln
	i	04 06		H = 12 00 49
	eiPgPg	04 24		
	ei	04 39		
	iSn	05 22		
	eiSgSg	06 39		
	i	07 33		
	M	08.5		Z*: 10 ^s
6.10.	eiN'	15 07 33.8		schwach, nur in N'E'Z'
	ei	07 38		Sprengung in Eschenlohe, Süd-Bayern
7.10.	(e)PP	01 33(00)		nur in N'Z' USCGS: Küste von Chile
7.10.	iP	08 39 52.3 C		N E Z*: nicht registriert
	iPoP	40 06		USCGS: Kurilen
7.10.	iP	09 18 43.5 C		nur in N'E'Z' USCGS: Kurilen
7.10.	iPKP	10 51 49.0 C		nur in N'E'Z' USCGS: Fidschi-Inseln
9.10.	e	10 04 05	390	E Z Z': Spuren
	eiPg	04 08.5		BCIS: 47.8°N, 11.1°E
	i	04 34		südliches Bayern, BRD.
	iSn	04 39		H = 10 03 02
	iSg	04 56		
	i	04 59		
9.10.	iP	14 21 42.8 D		schwach, nur in N'Z'
	ei(pPP)	24 31		USCGS: Kamtschatka
9.10.	iPKP	17 40 23.3 D	16550	USCGS: 21.1°S, 179.3°W
	i!PKP2	40 33		Gebiet der Fidschi-Inseln
	ipPKP	42 48		h = 654 km H = 17 21 49.5
	ipPKP2	42 58		
	iPKS	44 03		
	iPP	44 09		
	ipPP	46 25		
	iPPP	47 31		
	iPSKS	54(00)		Z*: Minutenlücke
	i(SKKS)	54 28		
	i(sSP)	58 28		
9.10.	eiZ'	18 17 04.0		

Datum	Phase	G.M.T.	D (km)	Bemerkungen
9.10.	e(PKP) iPKP2 i	18 51 46 51 52 52 02		schwach, nur in N'Z' USCGS: Gebiet der Fidschi-Inseln
10.10.	ePKPZ'	06 46 16		schwach USCGS: Neue Hebriden
11.10.	eiPZ'	16 05 06.5		schwach USCGS: südlich von Honshu
11.10.	eiPN'Z'	20 40 36.0		USCGS: Grenze Peru-Brasilien
12.10.	eiPKP iPKP2 iIZ* i(pPKP)	06 53 42.5 D 53 50 53 58 55 47		USCGS: Gebiet der Fidschi-Inseln
12.10.	iP iPoP eiPP	13 04 29.8 D 04 48 07 20		USCGS: nordwestlich der Kurilen
12.10.	iPKP iPP	18 50 07.5 C 50 50		N E: nicht registriert USCGS: Banda-See
14.10.	eEZ'	03 42 06		USCGS: Inseln über dem Winde
15.10.	eEZ' i ipP isP iPP i iPPP e isS ePS iPKKP M	08 13 26 13 30 C 14 09 14 22 17 02 17 07 19 02 24 06 25 06 25 25 31 07 53.0	9850	USCGS: 11.9°N, 86.0°W nahe der Westküste Nicaraguas h = 162 km H = 08 00 50.3 Z*: 18 ^S
15.10.	ePKP2Z'	23 23 01		schwach USCGS: Tonga-Inseln
16.10.	e i	16 02 55 03 07		schwach, nur in N'E'Z'
16.10.	eZ' ePPZ'	17 15 45 16 01		schwach, in N'E' Spuren USCGS: Halmahera, Molukken
16.10.	(e)PZ' eN'	20 28(59) 29 03		schwach, Z' in Minutenlücke USCGS: Gebiet der Maskarenen
17.10.	eiP ei	05 11 33.2 C 13 03		schwach, nur in N'E'Z' BCIS: Kasakstan, USSR.
17.10.	iPKP	14 27 40.5 D		nur in N'Z' USCGS: Fidschi-Inseln
17.10.	eiPZ'	21 18 08.5		schwach USCGS: Luzon, Philippinen

Datum	Phase	G.M.T.	D (km)	Bemerkungen
18.10.	eP isP i iPP M	01 18 06 18 20 18 47 19 07 40.0	3450	BCIS: 79.8°N, 1 3/4°E westlich von Spitzbergen H = 01 11 39 Z*: 10 ^s
18.10.	ei	14 42 37.5 C		schwach, nur in N'E'Z'
18.10.	iPg i iSg i i!	18 57 19.5 D 57 22 57 24.5 57 28 57 30	38	Epizentrum: 47.95°N, 16.4°E bei Ebreichsdorf, Niederösterreich I ₀ = 4° MS BCIS: H = 18 57 12
18.10.	ePKP	22 26 20		nur in N'Z' USCGS: Kermadec-Inseln
20.10.	eP	06 51 57		nur in N'Z' BCIS: Taurus, Türkei
20.10.	ePKPZ' i i(PKP2)	16 15 17 15 23 15 31		schwach, nur in N'E'Z' USCGS: Gebiet der Fidschi-Inseln
21.10.	e(In) iPg i i(Sn) iSg i	00 48 27 48 34 48 39 48 55 49 08 49 14	(280)	N'Z': schwach E': Spuren
21.10.	eiPPZ' e(pPP)	02 54 15 54 19		schwach, nur in N'Z' USCGS: Küste von Nord-Chile
21.10.	iP iZ' iPP iPcP eiS eiSS iPcS M	05 06 13.7 C 06 37 07 12 09 13 11 13 12 49 12 58 22.0	3350	BCIS: 73.5°N, 54.5°E Nowaja Semlja H = 05 00 00 Z*: 8s
21.10.	ePn iPb iPg eiPgPg iSn iSb iSg	16 56 12 56 24 56 34 56 36 57 12 57 24 57 41	560	BCIS: 43.0°N, 17.0°E Küste Dalmatiens, Jugoslawien H = 16 54 56
21.10.	eiPKP2	18 59 43.0 D		nur in N'Z' USCGS: Fidschi-Inseln
22.10.	eP eiPP	01 05 34 09 45		nur in Z' registriert USCGS: Nord-Argentinien
22.10.	ei	23 16 39.0		nur in N'Z' USCGS: Neuguinea

Datum	Phase	G.M.T.	D (km)	Bemerkungen
23.10.	iP iSP	08 39 05.8 D 50 08		schwach, in N'E nicht registriert USCGS: Gebiet der Bonin-Inseln
24.10.	eiPKP iPKP2	03 32 53.7 33 34		schwach, nur in N'Z' USCGS: Kermadec-Inseln
24.10.	i i	06 17 10.5 17 34		schwach, nur in N'Z' BCIS: Mittel-Griechenland
24.10.	iP	11 04 05.5 C		nur in N'Z' USCGS: Süd-Sumatra
24.10.	ePg eSg eSgSg	16 18 29 19 00 19 04	250	schwach, nur in N'E'Z' BCIS: 46.1°N, 15.9°E, Kroatien H. 16 17 47
25.10.	iP iPoP ipP isPoP iPP eiS iSoS e eSSS G M M	01 11 37.0 C 11 44 11 55 12 09 14 48 21 47 22 03 22 17 30 28 41 44.5 56.5	9100	USCGS: 24.5°N, 122.2°E, Formosa h = 65 km H = 00 59 22.6 N: 37 ^s ; E: 34 ^s N: 8 ^s , 20 μ ; Z*: 9s E: 13 ^s , 24 μ ; Z*: 12 ^s
26.10.	eiP	00 34 36.2 C		nur in N'Z' USCGS: Formosa
26.10.	eiP i	04 59 01.2 D 59 10		N E Z: nur Spuren BCIS: Süd-Anatolien, Türkei
26.10.	eP ePP	17 36 05 40 17		schwach, nur in Z' registriert USCGS: Molukken-See
ab 27. Oktober 9 ^h : Ausfall der Z'-Komponente des STUTTGARTER Satzes				
30.10.	ePN'	06 11 34		schwach BCIS: Kasakstan, USSR.
31.10.	e(PKP)	10 34 27		nur in N'E' USCGS: Fidschi-Inseln
31.10.	e(Pg) e(Sg) i	18 05 06 05 48 05 54	(350)	nur in N'E' registriert
31.10.	iP (i)sP iS i i M	21 10 40.2 C 10(59) 12 42 14 17 14 35 16.0	1100	BCIS: 38.0°N, 14.7°E Sizilien, Italien h = 70 km ca H = 21 08 10 N: 9 ^s , 7 μ ; E: 10 ^s , 5 μ ; Z*: 9 ^s

1944

1945

1946

1947

1948

1949

1950

1951

1952

1953

1954

1955

1956

1957

1958

1959

1960

1961

1962

1963

SEISMISCHE AUFZEICHNUNGEN in WIEN

12 FEB 1968

Wien-Hohe Warte $\varphi = 48^{\circ}14.9'N$
 $\lambda = 16^{\circ}21.7'E$

Höhe über dem Meer = 198 m
 Untergrund: Löß, darunter Lehm

Instrumente: Horizontalseismograph WIECHERT, 1000 kg (N,E)
 Vertikalseismograph WIECHERT, 1300 kg (Z)
 Nahbebenpendel nach CONRAD, 24 kg (Co)
 langperiod. Vertikalseismograph SPRENGNETHER (Z*)

Wien-Kobenzl $\varphi = 48^{\circ}15.9'N$
 $\lambda = 16^{\circ}19.1'N$

Höhe über dem Meer = 400 m
 Untergrund: Sandstein

Instrumente: 3 Nahbebenpendel STUTTGARTER SATZ (N',E',Z')

- November 1967 -

Datum	Phase	G.M.T.	D (km)	Bemerkungen
Anmerkung: Ausfall der Z' - Komponente des STUTTGARTER Satzes bis 2. November 9h. - Ab 6. November gelten für den SPRENGNETHER-Vertikalseismographen neue provisorische Konstanten: $T_s = 10.0^s$, $D_s = 0.476$, $T_g = 0.95^s$, $D_g = 1.00$, $\sigma^2 = 0.00042$, $V_{max} = 9900$ (bei starken Mikroseismen 7100).				
1.11.	Spuren eiSg	07 53 39 53 44.6		nur N'E' Epizentrum: $47.7^{\circ}N$, $16.1^{\circ}E$ Raum Wimpassing bei Neunkirchen, Niederösterreich $I_0 = 4^{\circ}MS$ $F = 140 km^2$ POSITION
3.11.	iPKP	07 51 57.5 C		schwach USCGS: Neue Hebriden
3.11.	iPg iSg i	13 21 31.5 C 22 14 22 19	335	nur in N'E'Z' registriert BCIS: $45.5^{\circ}N$, $14.6^{\circ}E$, Jugoslawien nördlich von Rijeka $H = 13 20 33$
4.11.	iPKP i!PKP2 ipPKP2	10 35 53.3 C 35 57 37 06		USCGS: Region der Fidschi-Inseln
4.11.	iP eipP i	13 39 04.2 C 39 16 40 26		in N E nur Spuren USCGS: Ostküste von Honshu, Japan
4.11.	eiP iPcP i iPP eiS i M	14 42 33.7 C 42 43 42 51 45 33 52 26 15 14 03 22.8	8700	USCGS: $43.5^{\circ}N$, $144.1^{\circ}E$ Hokkaido, Japan $H = 14 30 37.5$ N: $13^s, 19\mu$ E: $11^s, 26\mu$ Z*: $10.5^s, 17\mu$
4.11.	(e)P	14 57(59)		nur in N'E'Z' USCGS: Hokkaido
4.11.	(e)P eipP	16 39(59) 40 25		N'Z': schwach E': Spuren USCGS: Grenze Peru-Ecuador

Datum	Phase	G.M.T.	D (km)	Bemerkungen
7.11.	eiPKP eipPKP	04 08 54.0 D 09 06		USCGS: bei den Samoa-Inseln
7.11.	e(SgSg)	05 48 21		BCIS: Etruskischer Apennin, Italien
8.11.	eP iHcP	03 23 27 23 31		schwach, nur in N'Z' USCGS: Karibisches Meer
8.11.	ePg i i	17 43 38 44 36 44 48		schwach, nur in N'E'Z' BCIS: beim Gardassee, Norditalien
10.11.	iPKP iPKP2	13 29 55.0 29 58		schwach, nur in N'Z' USCGS: Region der Fidschi-Inseln
10.11.	(e)P	18 49(59)		nur in N'Z' USCGS: Chagos-Inseln, Indik
11.11.	eiP	02 37 21.7		schwach, nur in N'E'Z' USCGS: Uganda
11.11.	e(Pg) i (iSg) i	11 20 22 20 50 20(59) 21 14	325	schwach, nur in N'E'Z' PRUHONICE: Sprengung
11.11.	eiP	12 07 18.5 D		nur in N'Z' USCGS: Chagos-Inseln
11.11.	iP iPP	12 26 20.2 D 29 04		in N E nicht registriert USCGS: Chagos-Inseln
11.11.	eiP	18 11 24.0		nur in N'Z' USCGS: Chagos-Inseln
11.11.	eiP	20 29 35.5 D		nur in N'Z' USCGS: Chagos-Inseln
12.11.	eiP	02 39 17.3		schwach, nur in N'Z' USCGS: Kurilen
12.11.	eiPKP iPKP2 ipPKP2	10 56 33.5 56 37 56 48		in N E nicht registriert USCGS: Tonga-Inseln
12.11.	ePKP	17 44 15		nicht in N E USCGS: Loyalty-Inseln
14.11.	iPKP ePP	05 47 05.8 D 48 35		schwach, nur in N'Z' USCGS: Ost-Neuguinea
14.11.	ePKPZ'	20 04 05		schwach USCGS: Tonga-Inseln
15.11.	eiPP eipPP	21 50 48 50 53		schwach, N E Z nur Spuren USCGS: nahe d. Küste von Mittelchile
15. Nov. 22 ^h bis 17. Nov. 9 ^h : STUTTGARTER Satz (N'E'Z') außer Betrieb				
17.11.	eiP ePP ei ei(PFS)	05 07 44 09 42 10 00 15 08		nur in Z* BCIS: Mittelatlantischer Rücken

Datum	Phase	G.M.T.	D (km)	Bemerkungen
18.11.	eP ePP eS	02 34 49 35 01 37 26	1570	N'E'Z'Z*: schwach NE: Spuren Z: - BCIS: 35.0°N, 23.0°E, Mittelmeer westlich von Kreta H = 02 31 32
19.11.	iP ipP isP	12 19 19.2 C 19 33 19 38		USCGS: bei der Ostküste von Honshu
19.11.	(e)PKP iPKP2 ipPKP iPP	17 49(00) 49 05 49 11 52 22		N'Z': Beginn in Minutenlücke USCGS: Region der Loyalty-Inseln
19.11.	(e)PKP	18 09(00)		NEE'Z: - USCGS: Loyalty-Inseln
20.11.	ePKPZ'	02 31 06		schwach USCGS: Tonga-Inseln
20.11.	eiPZ'	11 01 07.5 C		schwach USCGS: südlich von Honshu
21.11.	eiPZ'	09 02 59.5		schwach USCGS: nördlich Ascension
21.11.	eP ei! e(S) i eSS	17 07 44 D 07 47 12 07 12 36 13 14		Auswertung nur nach Z Z' Z* BCIS: östlich von Jan Mayen
22.11.	eiPKP i!PKP2	15 39 05.3 39 11		nur in Z Z' Z* brauchbare Einsätze USCGS: Region der Loyalty-Inseln
23.11.	ePZ' iP iPeP iPP i iS iPS eiSSS M	08 44 06 44 07 D 45 53 45 56 46 27 50 51 50 56 54 58 09 09	5000	USCGS: 14.5°N, 52.1°E Golf von Aden H = 08 35 49.5 N: 13 ^S , 26μ E: 11 ^S , 18μ Z*: 10.5 ^S , 23μ
23.11.	ei iSg	13 20 56 21 00		schwach, nur in N'E'Z' BCIS: südliches Bayern, BRD.
23.11.	eiP isP iPP isS iSS M	13 48 35.0 D 48 42 49 41 53 58 55 55 14 03.1	3600	BCIS: 80.2°N, 1.5°W nordwestlich von Spitzbergen H = 13 41 59 Z*: 12.5 ^S , 12μ
24.11.	eiPKP	06 01 06.3 C		nur in Z'Z* USCGS: Fidschi-Inseln
24.11.	i i i	09 02 04.5 02 13 02 21		nur in N'E'Z' registriert

Datum	Phase	G.M.T.	D (km)	B e m e r k u n g e n
25.11.	i(Pg) ei i(Sg)	11 53 34.3 C 53 50 53 52	(150)	nur in N'E'Z' registriert
26.11.	eiP i ipP M	00 20 35.0 C 20 38 20 45 01 02		NE: Spuren USCGS: Ryukyu-Inseln Z*:15 ^s , 8 μ
26.11.	eP iPP	03 07 37 11 44		schwach, nur in N'Z' USCGS: Java
26.11.	ePn ei eiPgPg e(SgSg) M	03 27 13 27 53 28 02 30 08 31.6	1030	schwach, in N F Z nur M-Spuren BCIS: 39.5°N, 20.6°E Nordwest-Griechenland H = 03 24 58 Z*:9 ^s
26.11.	eiPZ'	08 22 48.0		schwach USCGS: bei Insel Kodiak
27.11.	ePKP ePKP2 iZ'	08 38 30 38 45 38 50		Z'Z*: schwach Z: Spuren USCGS: Tonga-Inseln
28.11.	eiP ipP	02 48 56.0 C 49 30		Z*: Registriererausfall NE: - USCGS: Kyushu, Japan
30.11.	eiPn i iPb i!PgPg iPgPgPg iSn i i!Sb i i!SgSgSg M	07 25 42.0 D 25 43 C 26 02 26 19 26 22 27 06 27 17 27 31 28 04 28 08 28.8	825	Z*: nur Pn Co: Beginn mit Pb BCIS: 41°27'N, 20°27'E, bei Debar, Grenze Albanien-Jugoslawien H = 07 23 52 NE: Schreibhebel aus d. Lagern gehoben Z:5 ^s , 357 μ Co:3 ^s , 210 μ ca
30.11.	ePn iSn	07 44 43 46 07		nur in N'E'Z' BCIS: Nachbeben
30.11.	ePnZ'	07 55 43		schwach BCIS: Nachbeben
30.11.	ePnZ'	08 13 20		schwach BCIS: Nachbeben
30.11.	eZ' eiZ*	08 15 17 18 23		schwach BCIS: Nachbeben
30.11.	iPKP	16 06 20.5 D		nur in N'Z' USCGS: Fidschi-Inseln

Zentralanstalt für Meteorologie und Geodynamik in Wien

SEISMISCHE AUFZEICHNUNGEN in WIEN

Wien-Hohe Warte $\varphi = 48^{\circ}14.9'N$
 $\lambda = 16^{\circ}21.7'E$

Höhe über dem Meer = 198 m
 Untergrund: Löß, darunter Lehm

Instrumente: Horizontalseismograph WIECHERT, 1000 kg (N,E)
 Vertikalseismograph WIECHERT, 1300 kg (Z)
 Nahbebenpendel nach CONRAD, 24 kg (Co)
 langperiod. Vertikalseismograph SPRENGNETHER (Z*)

Wien-Kobenzl $\varphi = 48^{\circ}15.9'N$
 $\lambda = 16^{\circ}19.1'E$

Höhe über dem Meer = 400 m
 Untergrund: Sandstein

Instrumente: 3 Nahbebenpendel STUTTGARTER SATZ (N',E',Z')

- D e z e m b e r 1 9 6 7 -

Datum	Phase	G.M.T.	D (km)	Bemerkungen		
<u>Konstanten der WIECHERT- Pendel am 6. Dezember 1967</u>						
			Komp. V	To	$\xi:1$	r/To^2
	Horizontalpendel 1000 kg		(NS 165 EW 155)	8.8 ^s	4.4	0.002
	Vertikalpendel 1300 kg		Z 205	2.25	3.4	0.012
Anmerkung: Ab 1. Dezember gelten für den SPRENGNETHER-Vertikalseismographen die neuen Konstanten: $T_s = 12.0^s$, $D_s = 0.40$, $T_g = 0.95^s$, $D_g = 1.00$, $\sigma^2 = 0.0005$, $V_{max} = 6800$.						
1.12.	e?	09 17 32		Z': schwach N'E': Spuren		
	i	17 51				
	ei	18 12				
1.12.	iP	14 08 37.5	C 8450	N E Z*: störende Mikroseeismen		
	iPcP	08 50		USCGS: 49.5°N, 154.4°E, Kurilen		
	ipP	09 13		h = 136 km H = 13 57 02.4		
	isP	09 27				
	eiS	18 09				
	eisS	19 07				
1.12.	ePnZ'	18 32 51		BCIS: Nachbeben bei Debar, Jugoslawien		
1.12.	ePn	20 09 45		schwach, in N E Z nicht registriert		
	MZ*	13.1		BCIS: Nachbeben bei Debar		
2.12.	ePn	00 26 09	825	in N E Z schwach registriert		
	eiPgPg	26 48		BCIS: 41.3°N, 20.4°E, bei Debar,		
	eiSgSg	28 28		Grenze Jugoslawien-Albanien		
	eiSgSgSg	28 39		H = 00 24 16 Nachbeben		
	MZ*	29.5				
2.12.	ePn	09 29 01		N'E'Z': schwach BCIS: Nachbeben		

Datum	Phase	G.M.T.	D (km)	B e m e r k u n g e n
2.12.	eSg	09 45 21		N'E'Z': schwach PRÜHONICE: Sprengung
2.12.	ePn i iPgPg i!PgPgPg iSn iSgSg iSgSgSg M	12 46 36 46 43 47 17 47 20 47 55 48 53 49 03 50.0	800	BCIS: 41.4°N, 20.3°E, bei Debar, Grenze Jugoslawien-Albanien H = 12 44 45 N: 8 ^s , 48μ E: 8 ^s , 43μ Z: 7 ^s , 52μ
2.12.	ePnZ' MZ*	14 19 55 23.3		schwach in N E Z Spuren Nachbeben USCGS: Albanien
2.12.	ePZ'	20 16 55		N'E'Z*: Spuren USCGS: Nordost-China
3.12.	ePn i(Pb) iPg eiSn eSg eiSgSg	19 51 15 51 33 51 44 52 26 53 05 53 11	680	Z: Spuren N E Z*: - BCIS: 42.3°N, 13.4°E Abruzzen, Mittelitalien H = 19 49 41
3.12.	eiPn i(Pb) iSn i eiSg M	21 31 31.5 D 31 50 32 43 32 47 33 20 34.1	680	BCIS: Abruzzen, Mittelitalien H = 21 29 59 Z*: 8 ^s , 3.3μ
3.12.	iPg i iSg i	22 11 10.4 CSW 11 13 11 21 11 26	92	BCIS: 48.7°N, 17.5°E Kleine Karpaten, ČSSR. H = 22 10 54
4.12.	iPg iSg	08 54 54.8 C 55 06		N E Z Z*: durch Mikroseeismen verdeckt BCIS: Kleine Karpaten, Nachbeben
5.12.	eiPZ'	05 23 21.5 C		schwach BCIS: Kretisches Meer
6.12.	ePKP i iPKP2	05 22 27 22 31 22 40		schwach, nur in N'E'Z' USCGS: Region der Fidschi-Inseln
7.12.	eiPKPZ'	10 00 45.2		schwach USCGS: Tonga-Inseln
7.12.	eiPKPZ'	10 08 47.2		schwach USCGS: Neue Hebriden
7.12.	ePn eiPgPg M	18 05 26 06 04 08.7		schwach N E E'Z: - BCIS: Grenze Jugoslawien-Albanien Z*: 8 ^s , 3.6μ
8.12.	eiPZ'	06 11 33.2 C		schwach BCIS: Kasakstan, USSR.

Datum	Phase	G.M.T.	D (km)	B e m e r k u n g e n
9.12.	ePn i iPb iPgPg iSn i i!Sb iSgSg M	03 11 26 11 32 11 40 11 54 12 33 12 40 12 56 13 14 13.7	670	BCIS: 42 1/4°N, 16 1/4°E Adriatisches Meer H = 03 09 57 N:2.5 ^s ,7μ E:2.5 ^s ,6μ
9.12.	Spuren e	05 46.0 46 42		schwach, nur in N'E'Z' BCIS: Jugoslawische Küste bei Rijeka
9.12.	Spuren e	08 56.0 56 44		schwach, nur in N'E'Z' BCIS: Jugoslawische Küste bei Rijeka
9.12.	ePn eSn eSg	09 19 21 19 56 20 11	320	schwach, nur in N'E'Z' BCIS: 45.6°N, 14.5°E, Jugoslawien bei Rijeka H = 09 18 35
10.12.	eP ei M	12 19 29 19 38 13 02.6		E':Spuren N E: - USCGS: Küste von Nord-Kalifornien Z*: 13 ^s
10.12.	eiPZ* i ipPP i eiS eisS M M	23 00 54 D 00 59 03 08 04 21 08 31 08 49 32 35.0	6200	USCGS: 17.7°N, 73.9°E Koyna Nagar, Südwest-Indien H = 22 51 24.3 N:14 ^s ,10.5μ E:16 ^s ,10.5μ Z*:13 ^s ,13.8μ MLV = 6.3
11.12.	eSn iSg	02 38 20 38 46		N'E'Z': schwach Z: M-Spuren BCIS: Graubünden, Schweiz
11.12.	eiPZ'	19 56 59.2 C		schwach USCGS: Golf von Aden
11.12.	iPKP2 eipPKP2	20 00 46 D 00 56		schwach, nur in N'Z' USCGS: Tonga-Inseln
11.12.	eiP i M	22 38 34.2 C 38 38 23 05.3		nur in N'Z'Z* USCGS: Golf von Aden Z*:14 ^s
12.12.	iPKP iPKP2	08 25 59 26 03		Z: Spuren N E: - USCGS: Region der Loyalty-Inseln
13.12.	eiPn eiPg i iSn eSg e	10 43 10.1 C 43 17 43 20 43 41 43 49 43 55	275	schwach, nur in N'E'Z' BCIS: 45°53'N, 14°49'E (nach Laibach) Slowenien, Jugoslawien H = 10 42 28

Datum	Phase	G.M.T.	D(km)	Bemerkungen
13.12.	iP	10 50 05		nur in N'E'Z' USCGS: Kurilen
13.12.	ePZ'	11 09 56		schwach USCGS: Kurilen
13.12.	eiPKP ipPKP	19 26 42.5 26 56		in N E Z nicht registriert USCGS: Neue Hebriden
14.12.	eP i MZ*	02 28 47 28 54 53.0		in N E Z nicht registriert USCGS: östlich vom Golf von Aden
14.12.	e(P)Z' MZ*	02 58 39 03 06.5		schwach BCIS: südöstlich von Kreta
15.12.	e i(Sg)	11 00 36 00 51		N'Z': schwach E': Spuren
15.12.	ePKP ePKP2	20 07 04 07 38		schwach, nur in Z' USCGS: Region der Kermadec-Inseln
15.12.	e e	21 26 32 26 40		Z': schwach N': Spuren
16.12.	e e i i(Sg)	01 59 03 59 16 59 30 60 00		schwach, nur in N'E'Z'
16.12.	Spuren iSg	10 38.1 38 23		schwach: nur in N'E'Z' MOXA: Sprengung
16.12.	ei(P)Z' MZ*	21 05 42.0 44.0		USCGS: bei Ostküste von Kamtschatka
17.12.	iPZ'	00 32 57.8		USCGS: Grenze Afghanistan-USSR.
19.12.	iPn i i(PgPg) eiSn i ei!SgSg iSgSgSg M	08 34 22.0 34 36 34 59 35 44 36 13 36 39 36 50 37.8	825	BCIS: 41.3°N, 20.3°E, bei Debar, Grenze Jugoslawien-Albanien H = 08 32 28 N: 8 ^s , 75 μ . E: 8 ^s , 8 μ Z*: 8 ^s , 9 μ
20.12.	iZ* i i(PP) i i(pPP)	11 44 47 45 48 45 55 46 05 46 14		Z*: störende starke Mikroseismen N E: nicht registriert USCGS: Andamanen
21.12.	ePn i iPgPg	00 11 21.5 11 31 11 58	790	BCIS: 42.0°N, 21.0°E, Tetowo, westlich von Skoppje, Jugoslawien H = 00 09 37

-Datum:	Phase	G.M.T.	D (km)	Bemerkungen
zu 21.12.	i	00 12 36		
	iSn	12 41		
	i	13 09		
	i	13 23		
	eiSgSg	13 33		
	iSgSgSg	13 42		
21.12.	eiP	02 39 22 C	11550	USCGS: 21.8°S, 70.0°W nahe der Küste von Nord-Chile
	i!	39 29		H = 02 25 21.6
	i!PP	43 42		
	ipPP	43 50		
	iPP	45 57		
	e(S)	51 15		
	e!PS	52 56		
	i!sPS	53 13		
	eSS	58 24		
	ePKPPKP	03 03 37		
	G	13		N:34 ^S
	MQ	20.5		N:24 ^S , 133 μ E:28 ^S , 260 μ
	MR	26.5		E:18 ^S , 88 μ Z*:18.5 ^S , 80 μ ca., MLV=7.3
21.12.	e(P)	23 54 38		schwach, nur in N'Z'
	eiPcP	54 54		USCGS: Andamanen
22.12.	eiPKP2	23 29 31.2 D		nur in N'E'Z' USCGS: Kermadec-Inseln
24.12.	eP	20 14 15 D	7650	USCGS: 17.4°N, 61.1°W
	i!	14 19		Inseln über dem Winde
	i	14 45		H = 20 03 10.9
	ePcS	18 41		
	esS	23 24		
	eiPS	23 36		
	iSS	27 38		
	eiPKPPKP	42 33		
	M	43.8		E:19 ^S , 19 μ Z*:18 ^S , 29 μ , MLV=6.6
24.12.	eiP	21 43 36.6 D		N'E: - USCGS: Inseln über dem Winde
25.12.	eiPKP	01 42 25 C	13750	USCGS: 5.3°S, 153.7°E
	ei	42 29		bei Neu-Irland
	eipPKP	42 44		h = 64 km H = 01 23 33.6
	i	44 06		
	iPP	44 11		
	ePKS	45 58		
	e(PKKP)	52 54		
	e(PS)	54 14		
	e(SS)	02 00 56		
	G	22		N:40 ^S E: 43 ^S
	M	31.5		(N:22 ^S , 57 μ E:28 ^S , 106 μ Z*:26 ^S , 110 μ , MLV=7.4
25.12.	ePFZ'	10 59 44		schwach USCGS: Küste v. Nord-Chile
	M	11 40.0		Z*:22 ^S , 5.9 μ , MLV=6.1

